

BESSASTAÐAÁRVIRKJUN

**HLJÓÐHRAÐA-OG VIÐNÁMSMÆLINGAR
SUMARIÐ 1975**

Halina Guðmundsson

Gunnlaugur Jónsson

Davíð Egilsson

OS-ROD-7617

**Unnið fyrir
Rafmagnsveitur ríkisins
Mai 1976**

BESSASTAÐAÁRVIRKJUN

HLJÓÐHRAÐA-OG VIÐNÁMSMÆLINGAR
SUMARIÐ 1975

Halina Guðmundsson

Gunnlaugur Jónsson

Davíð Egilsson

OS-ROD-7617

Unnið fyrir
Rafmagnsveitir ríkisins
Mai 1976

EFNISYFIRLIT

MYNDASKRÁ

ii

Kafli 1 INNGANGUR 1

Kafli 2 HLJÓÐHRAÐAMÆLINGAR

2.1 Inngangur	3
2.2 Takmörkun hljóðhraðamælinga	3
2.3 Niðurstöður hljóðhraðamælinga	4

Kafli 3 VIÐNÁMSMÆLINGAR 7

3.1 Eðli mæliaðferðar	7
3.2 Niðurstöður viðnámsmælinga	9

Kafli 4 HEILDARNIÐURSTÖÐUR
• Jarðlagasnið 12

TILVITNANIR 15

MYNDASKRÁ

Mynd

- 1.1 Bessastaðaárvirkjun, staðsetningarkort
- 2.1 Fljótsdalur, staðsetning hljóðhraðamælinga
- 2.2-2.10 Fljótsdalur, hljóðhraðalínurit og snið
- 3.1 Viðnámsmæling, Schlumberger uppsetning
- 3.2 Fljótsdalsheiði, viðnámssnið eftir H línu
- 3.3 Fljótsdalsheiði, viðnámssnið eftir P línu
- 3.4 Fljótsdalur, staðsetning viðnámsmælinga
- 3.5-3.6 Fljótsdalur, viðnámssnið
- 4.1 Skýringar á jarðlagasniðum

Skurð- og stíflustæði		Staðsetning mælilína		Jarðlagasnið
E	mynd	4.2	mynd	4.3
F	-	4.4	-	4.5
G	-	4.6	-	4.7
D	-	4.8		
H	-	4.9		
D og H			-	4.10
J, K og L	-	4.11	-	4.12
M	-	4.13	-	4.14
N	-	4.15		4.16
N	-		-	4.17
O	-	4.18	-	4.19
P	-	4.20	-	4.21
R	-	4.22	-	4.23
P	-	4.24	-	4.25

1. INNGANGUR

Sumarið 1975 voru framkvæmdar þykktarmælingar á lausum jarðlögum vegna frumkönnunar fyrir áætlaða virkjun Bessastaðaár í Fljótsdal.

Mælingar voru gerðar á hugsanlegum stíflu- og skurðstæðum (mynd 1.1) og voru ferns konar: gryfjutaka og lýsing, Borrobórun, hljóðhraðamælingar og viðnámsmælingar, (tafla 1.1). Allir mælipunktar hafa verið mældir inn í hnita- og hæðarkerfi.

TAFLA 1.1

BESSASTAÐAÁRVIRKJUN

Fjöldi mismunandi jarðvegsþykktamælinga á hugsanlegum stíflu- og skurðstæðum.

skurð- og stíflu- stæði	fjöldi gryfja	fjöldi Borro borana	fjöldi hljóð- hraða- mælinga	fjöldi viðnáms- mælinga	lengdar- mæling
D	4	30	12	2	x
E	10	43	26	3	x
F	6	30	18	2	x
G	3	36	11	-	
H	10	84	10	17	x
J	2	3	4	-	
K	2	4	6	-	
L	7	11	10	-	
M	5	11		3	x
N	25	109	20		
O	4	8			
P	15	2	2	3	x
R	4	14	9		
P	6	60	20	7	x
<u>Fljótsd.</u>	<u>?</u>	<u>36</u>	<u>15</u>	<u>8</u>	
<u>Samtals</u>	<u>103</u>	<u>481</u>	<u>166</u>	<u>45</u>	<u>7</u>

Skýrsla þessi fjallar um þykktarákvarðanir lausra jarðlaga út frá hljóðhraða- og viðnámsmælingum. Kaflar 2 og 3 fjalla um hvora aðferðina fyrir sig. Þar er einnig gerð grein fyrir þeim sniðum er ná einhverju dýpi að marki (10-30 m) og byggjast á túlkun á annarri hvorri aðferðinni.

Kafli 4 gerir hins vegar grein fyrir sniðum af skurð- og stíflustöðum byggðum á upplýsingum frá öllum áðurnefndum mæliaðferðum.

Sökum þess að mun færri hafa áhuga á túlkun mælinganna en niðurstöðum þeirra eru mælingarnar af svæðinu birtar í sérstakri skýrslu í litlu upplagi (Halina Guðmundsson og fleiri, 1976). Þar eru sýndar allar hljóðhraða- og viðnámsmælingar, sem gerðar voru á svæðinu utan þær sem vitnað er beint til í þessu riti og því birtar hér, þ.e. hljóðhraðalínurit úr Fljótsdal.

Gryfjulýsingum og Borro-borunum verða ekki gerð önnur skil en þau, að tekið var mið af niðurstöðum þeirra við drátt áætlaðra lagamóta milli lausra jarðlaga og fastra.

2. HLJÓÐHRAÐALÍNURIT

2.1 Inngangur

Tilgangur þessara hljóðhraðamælinga (seismic refraction) var að ákvarða þykkt lausra og hálfsmálímdra jarðlaga á klöpp og auk þess nokkra jarðtæknilega eiginleika klapparinnar og yfirliggjandi jarðlaga. Á Fljótsdalsheiði voru athuguð stíflustæði við Hólmavatnsmiðun og Gilsárvötn og við Þórisstaðakvísl og gerð könnun á hugsanlegum efnisnámum.

Til mælinganna voru notuð ABEM tæki með 12 hljóðnemum og Huntect bergmáls- og hljóðhraðamælir. Mældar voru alls 179 línur, mislangar eftir því sem þurfa þótti.

Uppi á Fljótsdalsheiði voru mældu línumnar 164, nær allar á skurð- og stíflustæðum, sem eru einkennd með bókstöfunum D,E,F, G,H,J,K,L,M,N,P,Þ og R (mynd 1.1). Stefna mælilína var ýmist samsíða stíflustæðunum eða hornrétt á þau. Um 50 m voru hafðir milli sprenginga í hverri línu og hljóðnemunum 12 raðað á beina línu milli sprengipunktanna. Náðist með þessu hljóðhraðinn í berGINU og þeim jarðögum, sem yfir því eru, og reyndust þau víðast þynnri en 5 m.

Niðri í Fljótsdal voru mæld lengri snið eða allt að 400 m (mynd 2.1). Laus jarðög reyndust þar mun þykkari en uppi á heiðinni (dýpi á klöpp mældist frá 16 m næst Végarði og upp í 100 m í miðjum dalnum).

2.2 Takmörkun hljóðhraðamælinga

Óhjákvæmilega fylgja skekkjuvaldar og einhver ónákvæmni öllum þessum hljóðhraðamælingum. Ekki er hægt að áætla ónákvæmnina í eitt skipti fyrir öll, heldur verður að meta hana sérstaklega

fyrir hverja mælingu. Þó má gefa nokkrar tölur um ónákvæmni, sem gilda við flestar mælinganna.

Við útreikninga á dýpi niður á lagamót má gera ráð fyrir 10-15% skekkju (Laric og Hawkins, 1969) auk ónákvæmni sem nemur um 1/6 hluta fjarlægðar milli hljóðnema, en við erfiðar aðstæður minnkar nákvæmnin. Erfitt er að finna millilög, sem eru þynnri en 2 m, og einnig þau millilög, sem hafa lægri hljóðhraða en ofanáliggjandi lög. Í slikum tilfellum getur marktækur fjöldi mælinga sýnt yfir 30% skekkju (Eaton and Watkins, 1970). Við óheppilegt hlutfall hljóðhraða ($V_n/V_{n+1} \sim 1$) og þegar hin einstöku lög þykkna ekki hlutfallslega eftir því sem neðar dregur, geta millilög týnst í mælingu. Óreglulegt yfirborð og lagamót auka á erfiðleika við túlkun mælinga. Að öllu samanlögðu má því telja að skekkja sé á milli 10-25%.

Iðulega er illmögulegt að sjá, hvort um er að ræða tvö eða þrjú lög með mismunandi hljóðhraða og er því sumstaðar sýnd á teikningum (t.d. línu N) tvennis konar möguleg afstaða jarðlaga. Spurningarmerki auökenna ólíklegrí niðurstöðuna.

2.3 Niðurstöður hljóðhraðamælinga

Hér verður fjallað um Fljótsdalsheiði og Fljótsdal hvort í sínu lagi.

A. Fljótsdalsheiði

Á heiðinni voru flestar mælingarnar gerðar með ABEM-tækjum (Halina Guðmundsson og fleiri, 1976). Einnig var á nokkrum stöðum mælt með Huntec tækjum.

Þykkt hinna ýmsu laga var reiknuð út frá hljóðhraðanum á two vegu, ("critical distance" - og "time-intercept" - aðferðirnar).

Eru niðurstöður þeirra merktar inn á hljóðhraðasnið með samfelldri línu annars vegar og brotinni línu hins vegar. Fyr nefnda aðferðin er nákvæmari þegar lítill munur er á hljóðhraða í mismunandi lögum, en sú síðar nefndu hentar betur, þegar mikil óregla er á dreifingu punkta í línuritinu og hætta er á, að einhver lög hafi "týnst",

Þegar yfirborðslag var mjög þunnt, reyndist erfitt að reikna nákvæmlega þykkt þess. Var þá brugðið á það ráð að gera ráð fyrir að hljóðhraði þess væri hinn sami og á næstu mælistöðum. Útreiknað dýpi þar er yfirleitt lágmarksdýpi.

Í stórum dráttum má segja, að dýpi niður á klöpp sé u.p.b. 3 m á mældu svæðunum á heiðinni, en stundum allt að 5 m. Hljóðhraðinn í klöppinni er yfirleitt nálægt 3 km/s, sem er eðlilegur hljóðhraði í basalt hraunlögum.

Í línum D,H og N er millilag, sem hefur hljóðhraða um 1,2 km/s, og er það að líkendum jökulurð (mórena). Í vissum tilvikum verður ekki glöggt séð af línuritinu, hvort um sé að ræða tvö lög með mismunandi hljóðhraða ellegar þrjú. Niðurstöður geta verið talsvert mismunandi og er þá hvort tveggja gefið til kynna á jarðlagasniðinu. Sumstaðar styrkja boranir eða annað aðra hvora niðurstöðuna eins og t.d. í línu N við borholurnar FS-4 og FS-5. Á öðrum stöðum eru einungis tvö lög (eitt lag ofan á klöpp) með mismunandi hljóðhraða. Að vísu er ekki hægt að þvertaka fyrir að þunnt millilag hafi "týnst" í mælingunni í öðrum línum. Slikra millilaga er þá helst að vænta þar sem lægð er í klöppinni.

Hljóðhraðalínurit eru birt í sér skýrslu (OS-ROD-7618).

B. Fljótsdalur

Í Fljótsdal var mælt á 15 línum með ABEM tækjunum (sjá mynd 2.1 - 2.8). Dýpi á klöpp í dalnum reyndist allmismunandi og

virðist gefa til kynna eins konar þrepayfirborð klapparinnar, en yfirleitt þykkna lausu jarðlögin í átt að miðju dalsins.

Í yfirborðslaginu, sem viðast er um 4 m þykkt, mældist hljóðhraðinn 0,3-0,5 km/s. Undir því er setmyndunin með hljóðhraða um 1,4 km/s. Nær miðju dalsins þykknar setið mjög og er það allt að 100 m eða e.t.v. meira. Lengsta mælilínan er 710 m milli sprengipunkta og gaf sú mæling rúma 80 m niður á fast. Þar sem setið er þykkað er hljóðhraðinn í því nokkuð breytilegur (frá 1,4-2,4 km/s). Orsök þessa kann m.a. að vera sú, að setið þéttist er neðar dregur og neðst má búast við jökulurð með hljóðhraða rúml. 2 km/s.

Hljóðhraðinn í berGINU mældist 3,7-3,9 km/s.

Flestari mælilínur í Fljótsdal voru lengdar með því að sprengja fjær hljóðnemanum án þess að færa þá. Er sprengistaður A var færður var hann kallaður C, og E ef færa þurfti aftur. Punktur B var nefndur D og F á sama hátt við færslu. Lengingar á mælilínum voru nauðsynlegar til að fá fram hljóðhraðann í berggrunnum þar sem mjög djúpt var á hann.

Til frekari nákvæmni var reiknað dýpi á klöpp undir einstökum hljóðnemum þegar það var hægt. Má sjá niðurstöður þessa á myndum nr. 2.1 - 2.8.

3. VIÐNÁMSMÆLINGAR

3.1 Eðli mæliaðferðar

Viðnámsmælingar svonefndar hafa verið notaðar hér á landi með mjög góðum árangri í nokkra áratugi við kortlagningu jarðlaga í jarðhitaleit, en þar sem viðnámsmælingar hafa lítið verið notaðar hérlendis til frumkönnunar fyrir mannvirkjagerð, er ekki úr veki að lýsa aðferðinni stuttlega.

Mælt er eðlisviðnám jarðlaganna, eða með öðrum orðum hversu vel þau leiða rafstraum. Eðlisviðnám í jarðlöggum er háð mörgum breytistærðum, eins og t.d. hitastigi, seltu jarðvatns o.fl. en þó einkum vatnsgengd eða þéttleika bergsins. Getur eðlisviðnám verið mörgum sinnum lægra í sprungnu bergi eða lausum jarðlöggum (50-100 ðm) en í þéttum hraunlöggum (100-1000 ðm).

Mælingin sjálf er fólgin í því að rafstraumur er sendur niður í jarðlögin um tvö skaut A og B, og spennufallið milli tveggja annarra skauta M og N síðan mælt (sjá mynd 1a). Viðnámið má þá reikna út, og ákvarðast það af mældum straum- og spennugildum, en auch þess af uppröðun rafskauta.

Þetta viðnám er kallað sýndarviðnám, og má líta á það sem vegið meðaltal af eðlisviðnámi undirliggjandi jarðlaga.

Margs konar uppsetningar á rafskautum hafa verið notaðar (sjá Keller og Frischknecht, 1966 eða Zohdy, 1974), en sú sem mest hefur verið notuð upp á síðastið er hin svokallaða Schlumberger uppsetning, sem sést á mynd 1a. Hefur hún einnig verið notuð við þetta verkefni.

Tvær algengustu aðferðir viðnámsmælinga eru dýptarmælingar og lengdarmælingar

a) dýptarmæling

Dýptarmæling er notuð til að kanna fjölda, þykkt og leiðni

mismunandi jarðlaga, neðan ákveðins staðar á yfirborði. Hún er framkvæmd með því að lengja bilið milli straumskauta eftir hverja einstaka mælingu. Vaxandi hluti rafstraumsins fer þá eftir sífellt dýpri jarðlöögum (mynd 1). Sýndarviðnám er reiknað fyrir hvert skautabil og lagt út á móti lengd straumarms (AB/2) á log-log pappír. Út frá gerð slikra línumrita er hægt að finna viðnám og þykkt mismunandi viðnámslaga, með samanburði við útreiknaða ferla (Keller og Frischknecht, 1966; Zohdy, 1965; Bhattacharia og Patra, 1968), eða tölulegum útreikningum (Zohdy, 1973).

b) lengdarmæling

Lengdarmæling er framkvæmd með því að mæla breytingu á sýndarviðnámi eftir fyrirfram ákveðinni línu, með óbreyttu skautabili. Miðja mæliuppsetningar er flutt eftir hvern aflestur og annar aflestur tekinn í næsta mælipunkti. Þessi aðferð gefur á fljótlegan og ódýran hátt hugmynd um lögum þess lags sem er undir yfirborðslaginu (Griffiths og King, 1965), einkum ef um aðeins tvö lög er að ræða. Sýndarviðnám í ákveðnum punkti á línumriti er lagt út á móti fjarlægð hans frá upphafspunkti mælilínu. Lögum þess ferils, sem við það fæst, endurspeglar þykkt jarðvegsins á línumriti. Það verður að leggja á það ríka áherslu, að lengdarmæling sem slik gefur ekki ein sér dýptarákvarðanir, nema við sérstakar aðstæður, t.d. í mýrum og þá aðeins innan nokkurra óvissumarka. Gunnlaugur Jónsson hefur bent á leið til dýptarákvarðana í slikum tilfellum (Davíð Egilsson o.fl., 1976) og hefur hún verið notuð við þetta verkefni, þar sem við á.

Lengdarmæling er á hinn bóginn ein hagkvæmasta aðferðin til að tengja milli jarðsveiflumælipunkta og/eða beinna mælinga í borholum. Þannig er hægt að minnka fjölda slikra dýrari mælinga og auka upplýsingar verulega án þess að nákvæmni skerðist að nokkrum mun.

Ýmsar takmarkanir eru á notagildi viðnámsmælinga. Það sem mestu varðar er, að verið er að mæla rafeiginleika bergsins, en ekki

beinlinis þá þætti sem standa í sambandi við styrkleika þess eða jarðtæknilega eiginleika.

3.2 Niðurstöður viðnámsmælinga

Við jarðvegsrannsóknir síðasta sumars voru gerðar bæði dýptar- og lengdarmælingar til að kanna dýpi niður á fast. Niðurstöðurnar voru bornar saman við jarðsveiflumælingar og beinar athuganir með borrobórun og gryfjugreftri.

a) dýptarmælingar

Dýptargildin, fengin frá viðnámsmælingum, liggja yfirleitt nærrí þeim gildum sem hafa fengist með Borro-borun, jarðsveiflumælingum, eða greftri gryfja, einstök frávik koma þó fram (Kafli 4).

Tilraun hefur verið gerð við H og P-línu að tengja saman niðurstöður frá einstökum dýptarmælingum til að fá hugmynd um jarðlagaskipan.

H-lína (mynd 3.2) er lögð nálægt 45° á hallastefnu jarðlaga (Bessi Aðalsteinsson, munnleg heimild). Staflinn þar virðist vera gerður úr háviðnámslögum, sennilegast hraunlagasyrpum, með lágvíðnámslögum á milli (setsyrpur?).

P-lína (mynd 3.3) er tekin í strikstefnu jarðlaga, enda kemur fram mjög lítil halli (1°). Mikil óregla sýnist vera í P-6 og gæti þar verið um misgengi að ræða, en mælingar eru of gisnar til þess að af þeim verði nokkuð frekar ráðið.

Skipan viðnámsлага á báðum þessum línum hefur svipað yfirbragð og jarðlagaskipan efst í Bessastaðaárfarvegi (Elsa Vilmundardóttir), 1972), en samkvæmt jarðfræðilegum forsendum ætti hæð þeirra að vera svipuð í staflanum. P-lína er raunar tekin við enda sniðs nr. 10 hjá Elsa Vilmundardóttur.

Nokkrar mælingar voru teknar niðri í Fljótsdal (mynd 3.4) og var ætlunin að segja til um dýpi niður á berggrunninn út frá þeim. Myndir 3.5 og 3.6 sýna lang- og þversnið af viðnámslögum dalsins. Samanburður við hljóðhraðamælingar bendir til þess að greina megi þessi viðnámslög í þrjár jarðfræðilegar syrpur:

- a) Yfirborðslög (viðnám mjög breytilegt)
- b) Setlög (sandur? - viðnám 130-160 ðm)
- c) Berggrunnur (viðnám 50 - 100 ðm)

Berggrunnurinn virðist hafa óvenjulega lágt viðnám, t.d. nokkru lægra en við Urriðavatn utar á Héraði (Kristján Sæmundsson, 1970, Guðmundur Guðmundsson, 1972 og Axel Björnsson óbirt).

Viðnámslagskiptingunni ber nokkuð saman við lagskiptingu fundna með hljóðhraðamælingum, þó ber að geta þess að við VS1 og VF5, þar sem þessar tvær gerðir mælinga liggja næst hvor annari, er viðnámsmælingin trufluð vegna þeirrar lóðréttu óreglu sem Tröllkonustígurinn orsakar.

Þess skal að lokum getið að dýptarákvarðanir í dalnum orka nokkurs tvímælis sökum þess að mælingarnar eru í það stysta. Túlkun þeirra er einnig miðuð við láréttu lagskiptingu, en mikið er um truflanir út frá lóðréttum óreglum, t.d. stöllum, getur það orsakað nokkurt ósamræmi.

Túlkánir á báðum þessum sniðum verður að taka með nokkrum fyrirvara, sérstaklega dýptarákvarðanir í neðri lögum.

b) lengdarmælingar

Eins og áður er getið er erfitt að ákvarða dýpi út frá lengdarmælingu eingöngu. Við snið H,P,E,F,D var lengdarmælingin notuð að mestu til að segja til um lögun undirlagsins milli þekktra dýptarpunkta.

Dýptarákvörðun út frá lengdarmælingu var notuð við M- og P-línu. Samræmi milli hennar og gryfja tekinna á svæðinu er mjög góð, enda voru óvenju hagstæð skilyrði fyrir viðnámsmælingar, þar sem mýrin var öll jafnblaut og því nokkurn veginn sama leiðni yfir allt svæðið. Einnig var viðnám í undirlögum jafnt og hátt og gaf því skörp skil milli mýrar og bergs.

4. HEILDARNIÐURSTÖÐUR

Jarðlagasnið

Hljóðhraða- og viðnámsmælingar eru í eðli sínu óbeinar, þ.e. þær mæla ekki beint þá jarðtæknilegu eiginleika, sem hagnýtt er að þekkja við hönnun og gerð mannvirkja. Þykktarákvarðanir út frá súlikum mælingum verða að hafa stuðning frá beinum mælingum, sem gerðar eru viða á svæðinu til samanburðar. Ef nauðsyn krefur er hin jarðeólisfræðilega mynd leiðrétt á súlikum samanburðarpunktum.

Við Bessastaðaá voru beinar athuganir framkvæmdar af Jarðborana-deild Orkustofnunar (Borro-borun) og starfsmönnum Hönnunar (gryfjutaka og lýsing). Þær voru staðsettar á hugsanlegum stíflu- og skurðstæðum við eða nærri þeim stöðum sem óbeinu mælingarnar voru gerðar á.

Gryfjutaka með traktorsgröfu er öruggust og einna ódýrust aðferða við þykktarkönnun á lausum jarðvegi, þar sem hann er þunnur (≈ 4 m) og landið auðvelt yfirferðar fyrir gröfuna.

Oft er þó lausi jarðvegurinn þykktari en 4 m einhvers staðar á því svæði sem rannsakað er og þarf því líka að nota Borro-borun ásamt hljóðhraða- og viðnámsmælingum. Á einstaka stað er of votlent fyrir gröfur að athafna sig og koma viðnámsmælitækin, sem eru mjög létt, þar að góðum notum. Litlar gröfur vinna einungis á lausasta jarðveginum, en síður á hálfslímduum lögum eins og harðri jökulurð (mórenu). Þar þarf því líka að nota hljóðhraðamælingar og einstaka kjarnaholur.

Hægt er að mæla þykkt lausra jarðlaga með Borro-borun allt að nokkrum tugum metra. Hún er þó ekki eins örugg og gryfjutakan þar sem borstöngin getur stöðvast á steini áður en hún nær fastri klöpp. Þetta á sér í lagi við ef verið er að kanna þykkt jökulurðar. Lendi borrostöngin á hnallungi í jökulurð, getur jökulurðin haldið svo vel að honum að hann nær ekki að

snúast og veitir því borstönginni fullkomna fyrirstöðu. Við súkar aðstæður getur verið dýpra á fast berg en Borro-borunin sýnir.

Dýptarákvarðanir út frá hljóðhraða- og viðnámsmælingum byggjast á eiginleikum jarðлага yfir mælibilið, þ.e. hve mikinn hljóðhraða eða eðlisviðnám þau hafa á því svæði, sem mælt er í hverri einstakri mælingu. Slík dýptargildi eru því meðalgildi yfir nokkurt svæði. Mun á dýptarákvörðunum fengnum með Borro-borun og jarðeðlisfræðilegum mælingum má því yfirleitt skýra á þann hátt að Borro-borunin mælir lágmarksþykkt jarðvegs í ákveðnum punkti, en hinar jarðeðlisfræðilegu mælingar sýna meðalþykkt jarðvegs yfir ákveðið bil. Borro-bor stöðvast á yfirborði klappar og getur því litlar upplýsingar gefið um eiginleika hennar. Hljóðhraðamælingar geta gefið vísbendingu, óbeina bó, um þykkt og þéttleika klapparinnar. Þessar tvær aðferðir styðja því hvor aðra og reynast mjög vel saman.

Staðsetning og niðurstöður hinna ýmsu dýptarákvarðana og tengilínur milli þeirra eru sýndar á myndum 4.1-4.25. Það ber að hafa í huga við lestur sniðanna að lóðrétti skalinn er mjög yktur miðað við hinn lárétta þannig að lagamót sýnast mun brattari en þau eru.

Samræmi milli hinna ýmsu aðferða reyndist yfirleitt gott. Mesti munur á niðurstöðum er 1,2 m. Yfirleitt var fylgt þeirri reglu að telja gryfjurnar gefa réttasta mynd. Reynt var að fara bil beggja við drátt tengilína, ef Borro-borunin og jarðeðlisfræðilegu mælingarnar gáfu ekki sömu niðurstöður. Þó var í einstökum tilfellum tekið meira mark á niðurstöðum hljóðhraðamælinganna, þar sem dýpi fengið með þeirri aðferð verður að telja meðaldýpi yfir mælibilið. Þegar lengdarmælingaferill viðnáms (kafli 3) sýndi óreglu í lögum milli dýptarákvörðunarpunkta var tekið tillit til þess við drátt áætlaðra lagamóta og ef súkt gerðist

undir jarðsveiflumælistöð var dýpi undir hverjum sveiflunema reiknað. Tvær mælilínur M og P (myndir 4.14 og 4.21) hafa verið dýptarákvarðaðar með lengdarmælingu (viðnáms).

Á flestum sniðanna eru tvær til þrjár gerðir jarðlaga, sem greinast eftir hljóðhraða í:

- | | | | |
|----|-------------------------|---------|------|
| 1) | Yfirborðslög (mói-mýri) | 0.3-0.7 | km/s |
| 2) | Jökulruðning | 1-2 | km/s |
| 3) | Basaltklöpp | 3-4 | km/s |

TILVITNANIR

Axel Björnsson, 1975, Electrical resistivity of layer 3 in Iceland:
OS. JHD. 7509.

Bhattacharya and Patra, 1968, Direct current geoelectrical sounding,
principles and interpretation: New York, Elsevier, 135 bls.

Davíð Egilsson, Sven Sigurðsson og Gunnlaugur Jónsson, 1976,
Viðnámsmæling-þykktarákvörðun jarðvegs með lengdarmælingu:
OS ROD 7615.

Eaton, G.P. and Watkins, J.S., 1970, The use of seismic refraction
and gravity methods in hydrogeological investigations: Proc.
Canada Centennial Conf. Mining and Groundwater Geophysics,
Ottawa.

Eaton, G.P., 1974, Seismology: Techn. Wat. Res. Inv. Unit. Stat.
Geol. Survey, Book 2 Ch. D1 bls. 66-84.

Elsa G. Vilmundardóttir, 1972, Austurlandsvirkjanir-Fljótsdalur,
Skýrsla um jarðfræðiathuganir við Jökulsá í Fljótsdal
sumarið 1970: Orkustofnun, ágúst 1972.

Gough, D.J., 1952, A new instrument for seismic exploration at
very short ranges: Geophysics vol. 17 bls 311-333.

Griffiths, D.H. and King, R.F., 1965., Applied geophysics for
engineers and geologists: Pergamon Press, Oxford 223 bls.

Guðmundur Guðmundsson, 1972, Rafleiðnimælingar við Egilsstaði
og Urriðavatn: Greinagerð OS.

Halina Guðmundsson, Davíð Egilsson og Gunnlaugur Jónsson, 1976,
Bessastaðaárvirkjun, hljóðhraða- og viðnámsmælingar 1975,
Mæligögn: OS-ROD-7618.

Keller, G.V. and Frischknecht, F.C., 1966, Electrical methods
in geophysical prospecting: Pergamon Press, Oxford, 527 bls.

Kristján Sæmundsson, 1970, Varðar jarðhitarannsóknir við Urriða-
vatn: Greinagerð OS.

Laric, V. Hawkins, 1969, Seismic refraction surveys for civil
engineering: Geophysical Memorandum 2169, University of
New South Wales, Australia.

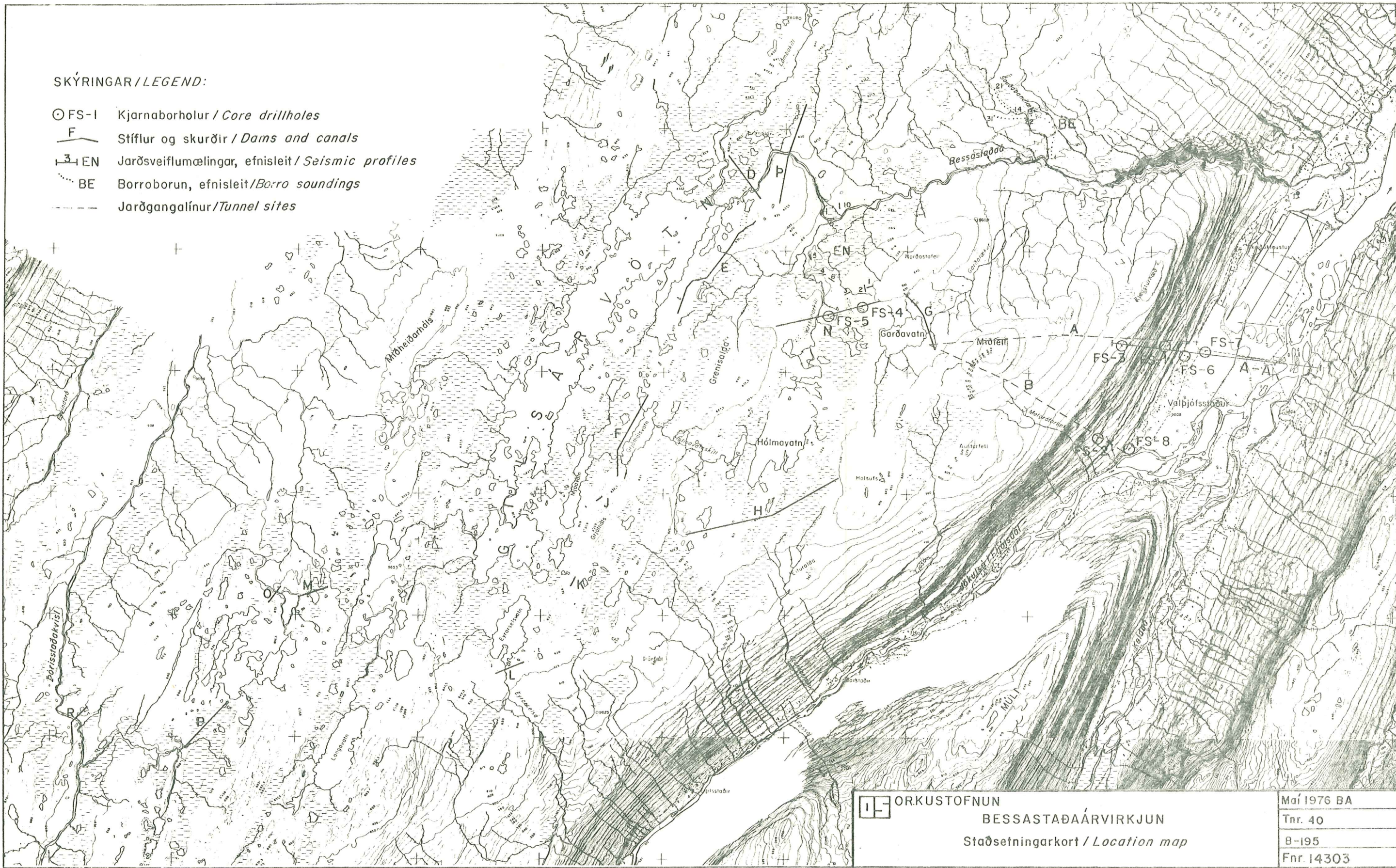
Zohdy, A.R.R., 1965, The auxiliary point method of electrical
sounding interpretation, and its relationships to the
Dar Zarrouk parameter: Geophysics, Vol. 30, bls. 644-660.

Zohdy, A.R.R., 1973, A computer program for the automatic interpretation of Schlumberger sounding curves over horizontally stratified media: N.T.S. Springfield.

Zohdy, A.R.R., 1974, Electrical Methods, Applications of surface geophysics to ground-water investigations: Techn. Wat. Res. Inv. Unit. Stat. Geol. Survey, Book 2, Ch. D, bls. 6-66.

SKÝRINGAR/LEGEND:

- FS-I Kjarnaborholur / Core drillholes
 - F Stíflur og skurðir / Dams and canals
 - 3 EN Jarðsveiflumælingar, efnisleit / Seismic profiles
 - BE Borrobörn, efnisleit / Bore soundings
 - — — Jarðgangalínur / Tunnel sites





ORKUSTOFNUN

Raforkudeild

Bessastaðaárvirkjun
Fljótsdalur
Staðsettig hljóðhraðamælinga

76-04-30. D.E./Ó.D.

Tnr. 39

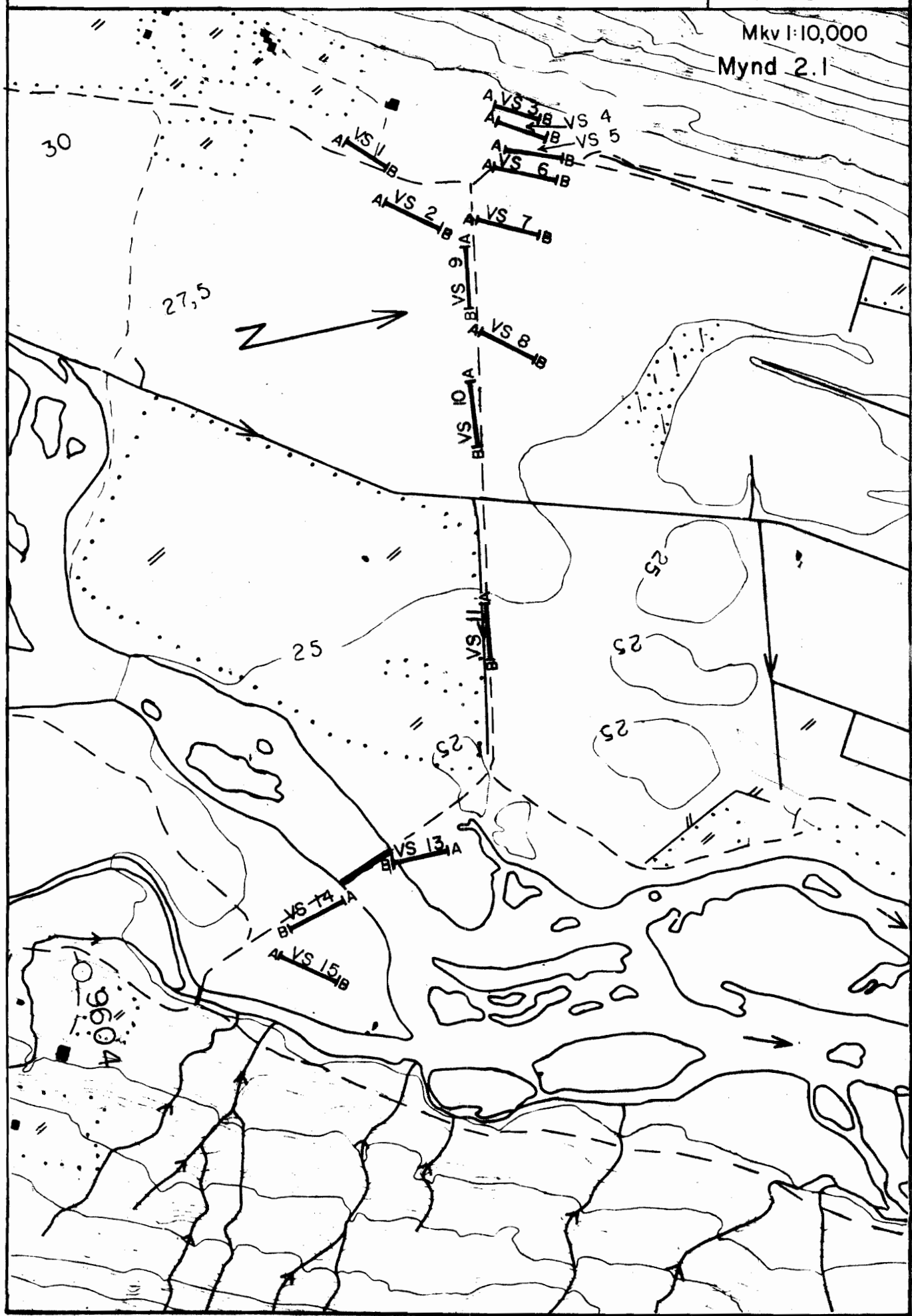
Tnr. 324

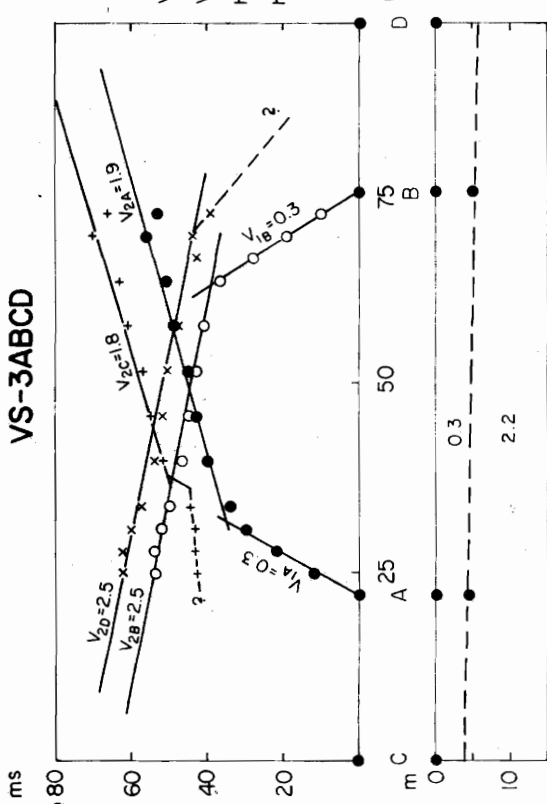
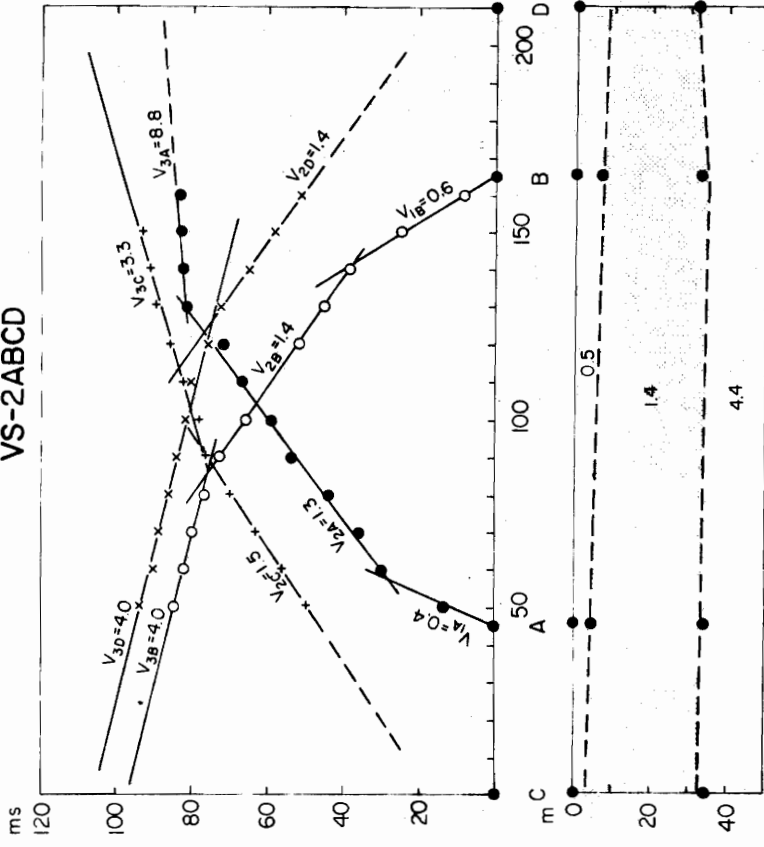
B-195 J-Jardsv.m

Fnr. 14180

Mkv I:10,000

Mynd 2.1



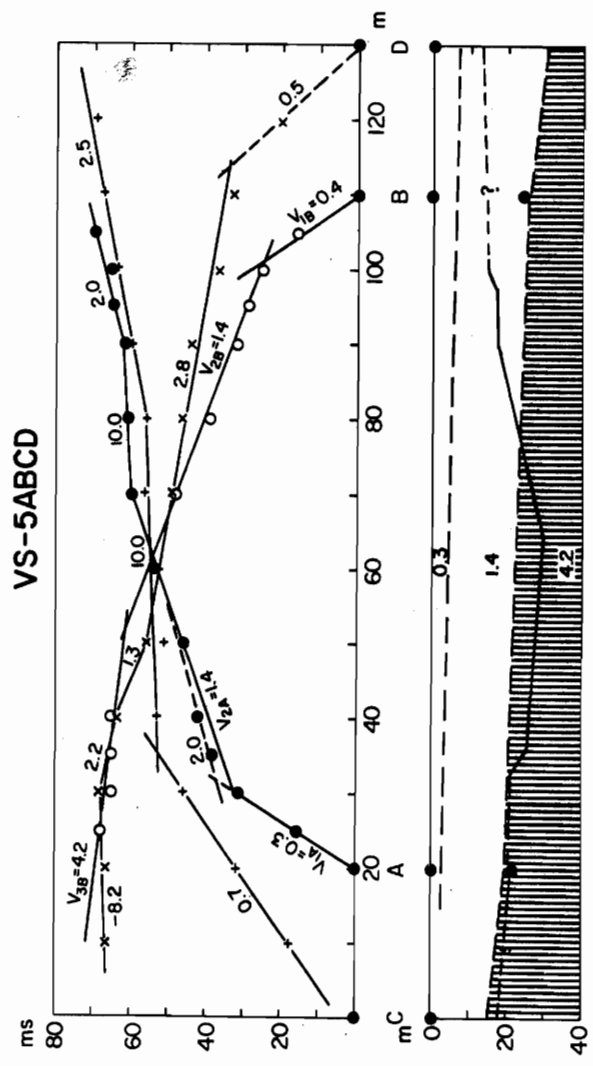
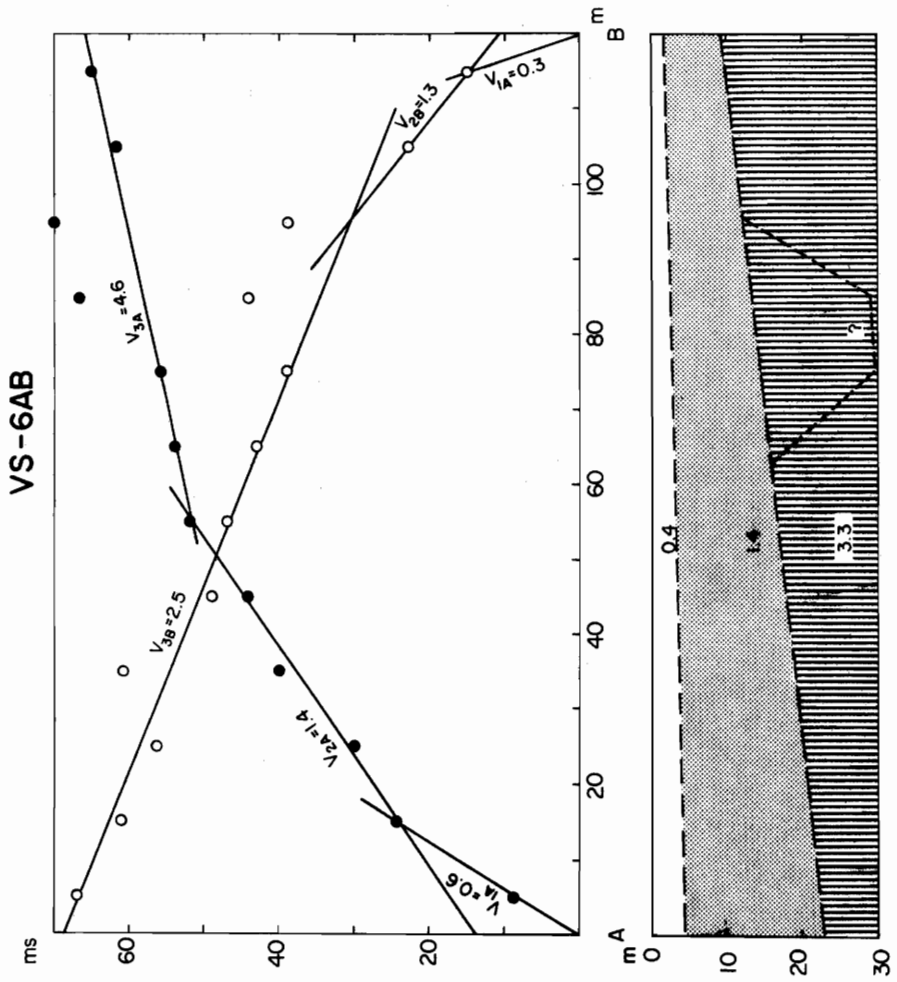


V_f = réttur hradi í km/s
 h = þykkt laga í m (critical distance method)
 h' = þykkt laga í m (intercept time method)

ORKUSTOFNUN

HLJÓÐHRADASNIÐ (SEISMIC TIME-DISTANCE PLOTS)

2.2

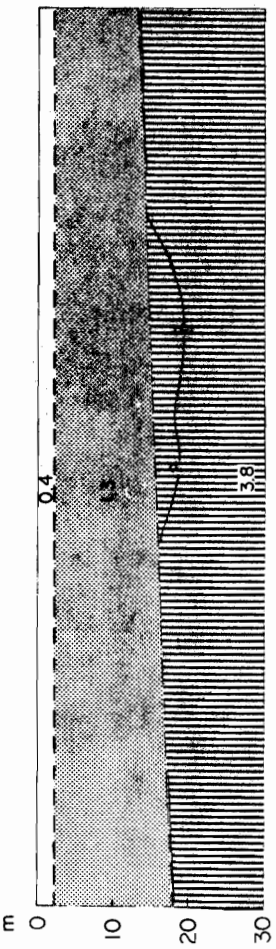
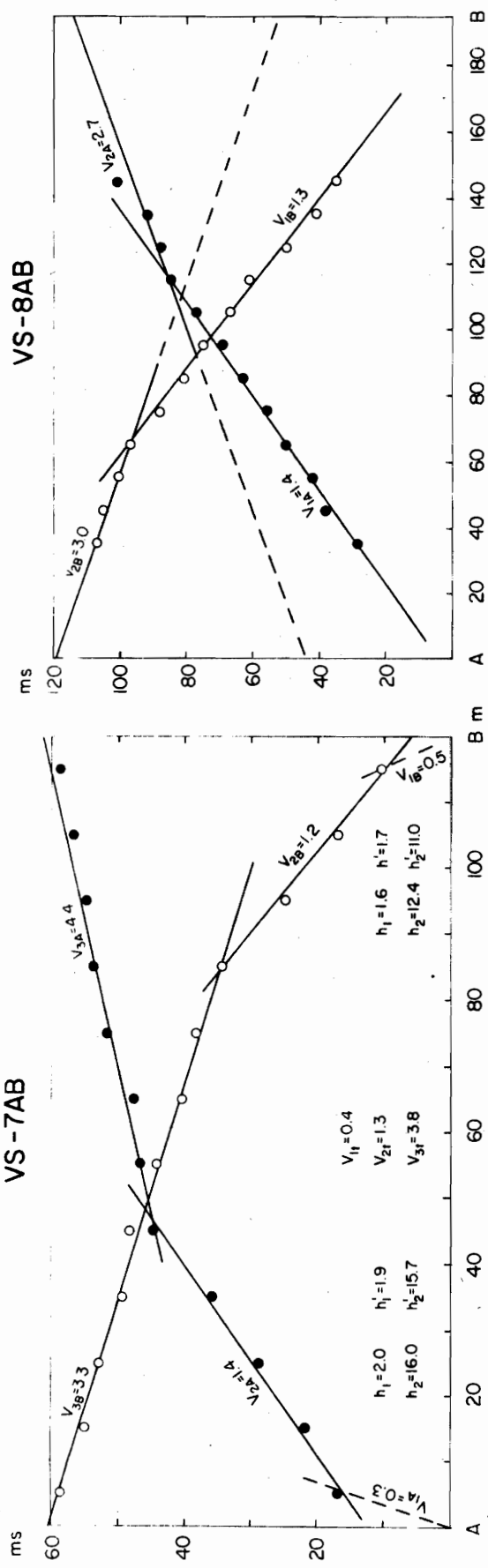


$$\begin{aligned}V_{1t} &= 0.3 \\V_{2t} &= 1.4 \\V_{3t} &= 4.2 \\h_{1A} &= 4.4 \\h_{2B} &= 17.1 \\h_{1B} &= 3.6 \\h_{2B} &= 20.2 \\h_{1C} &= 12.8 \\h_{1D} &= 5.8 \\h_{2D} &= 24.0\end{aligned}$$

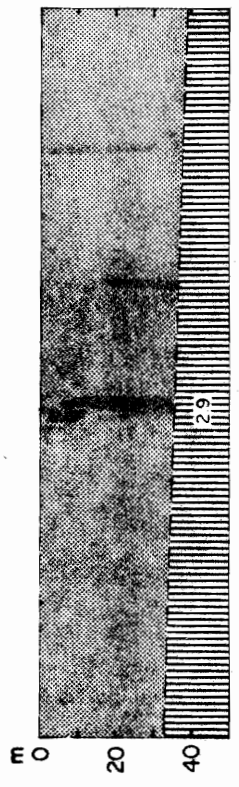
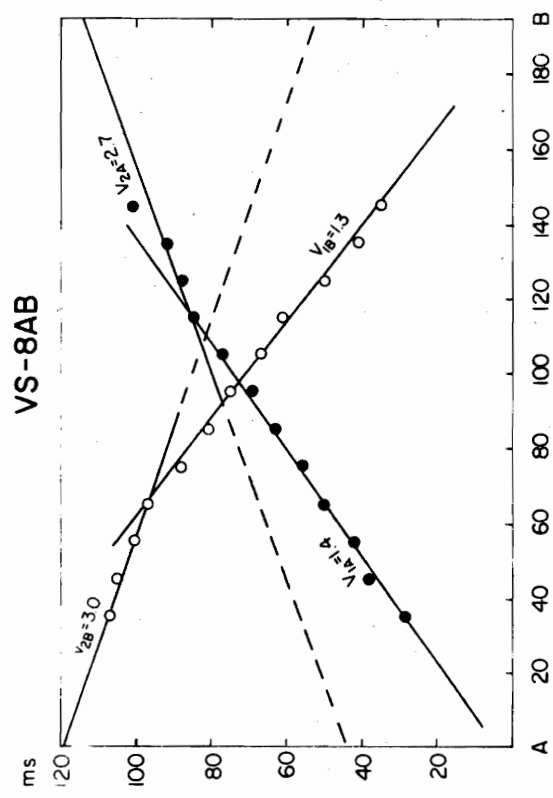
$$\begin{aligned}V_{11} &= 0.4 \\V_{21} &= 1.4 \\V_{31} &= 3.3 \\h_{1A} &= 4.7 \\h_{2A} &= 20.0 \\h_{1B} &= 1.9 \\h_{2B} &= 6.7\end{aligned}$$

ORKUSTOFNUN HLJÓÐHRADASNIÐ (SEISMIC TIME-DISTANCE PLOTS)
3.2'76 HG/e Trnr. 4 Trnr. 323
5.5-135.4

VS-7AB



VS-8AB



$v_{1A} = 1.4$
 $v_{2A} = 2.9$
 $h_{1A} = 33.9$
 $h_{1B} = 38.0$
 $h_{2A} = 35.0$
 $h_{2B} = 41.4$

MYND 2.4

ORKUSTOFNUN

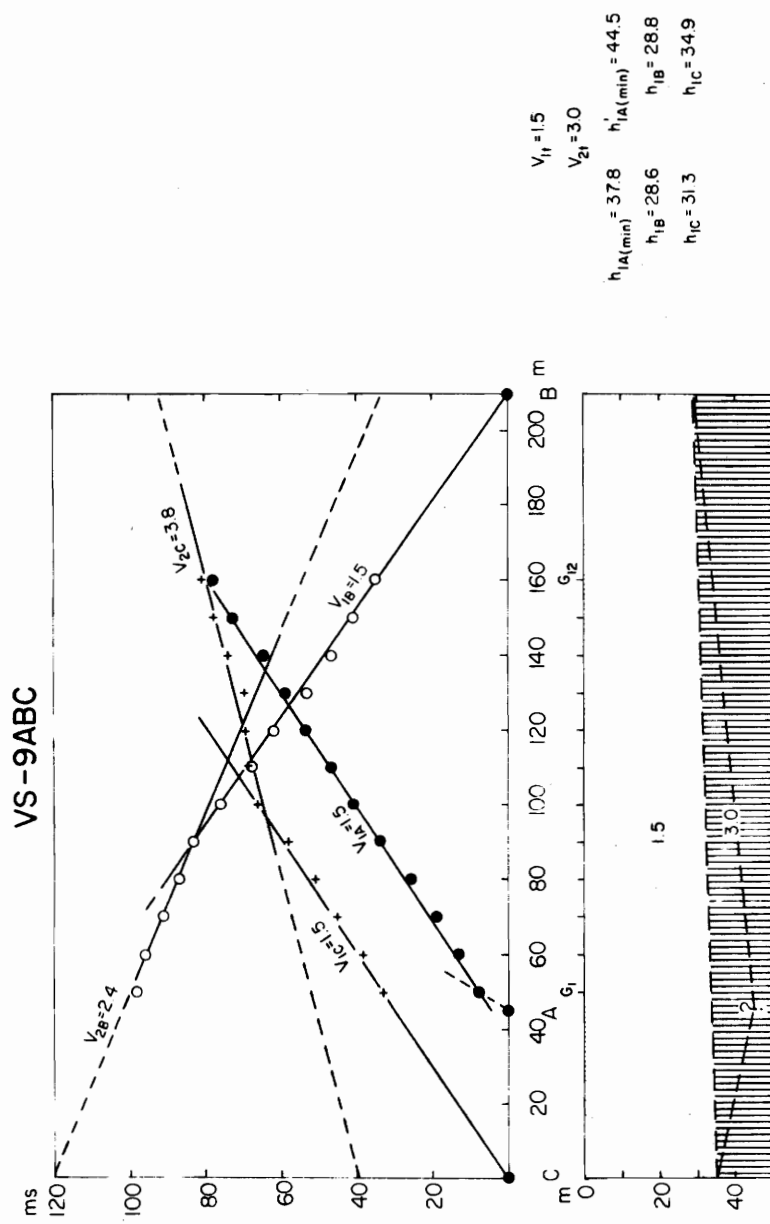
HLJÓÐHRAÐASNÍÐ
 (SEISMIC TIME-DISTANCE PLOTS)

6.2.76 HG/e	Tn. 4 Tr. 323
B-195 J-U sv.m.	Fnr. I 3544

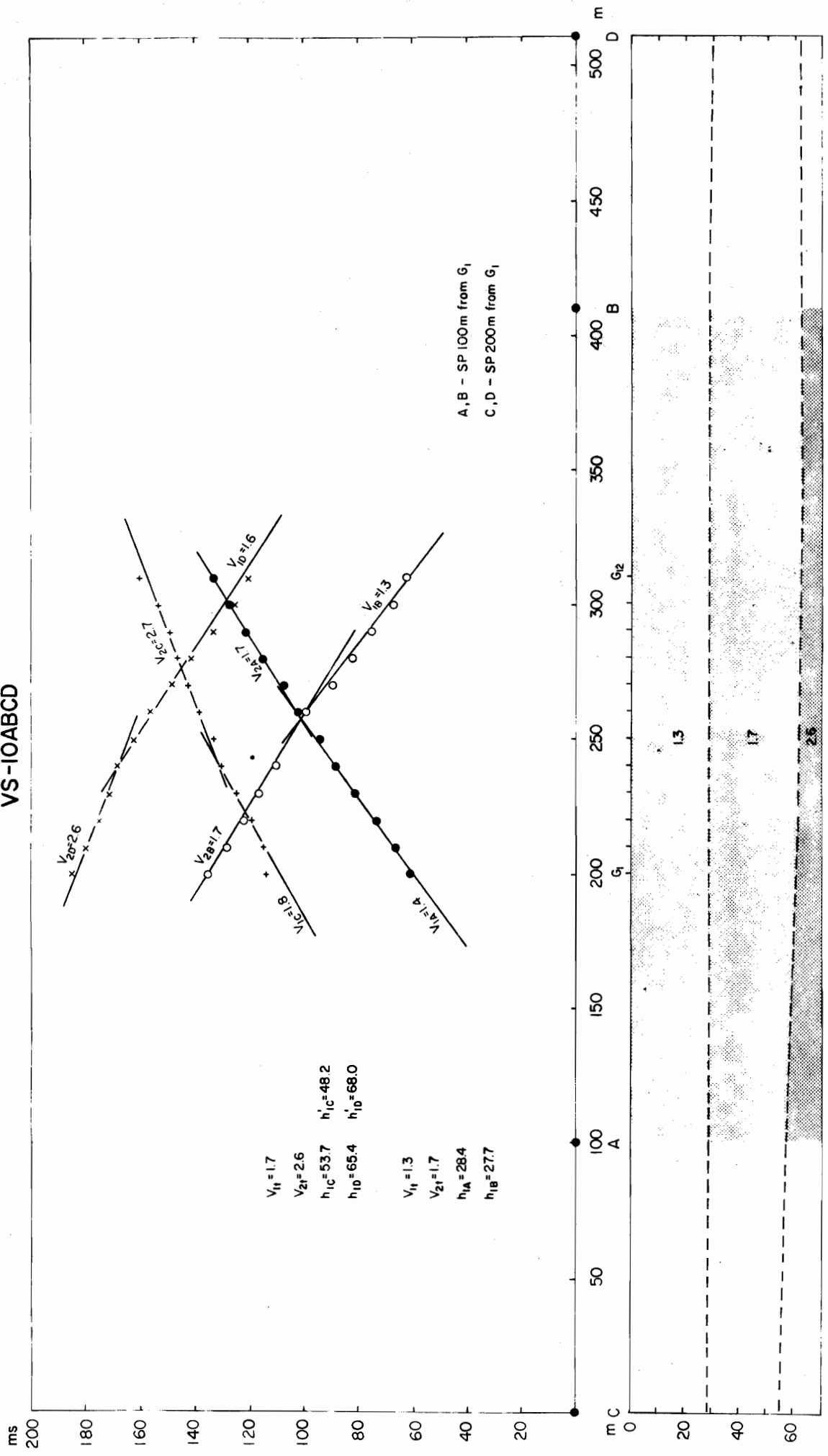
MYND 2.5

ORKUSTOFNUN

HLJÓÐHRAÐASNIÐ (SEISMIC TIME-DISTANCE PLOTS)



VS-IOABCD



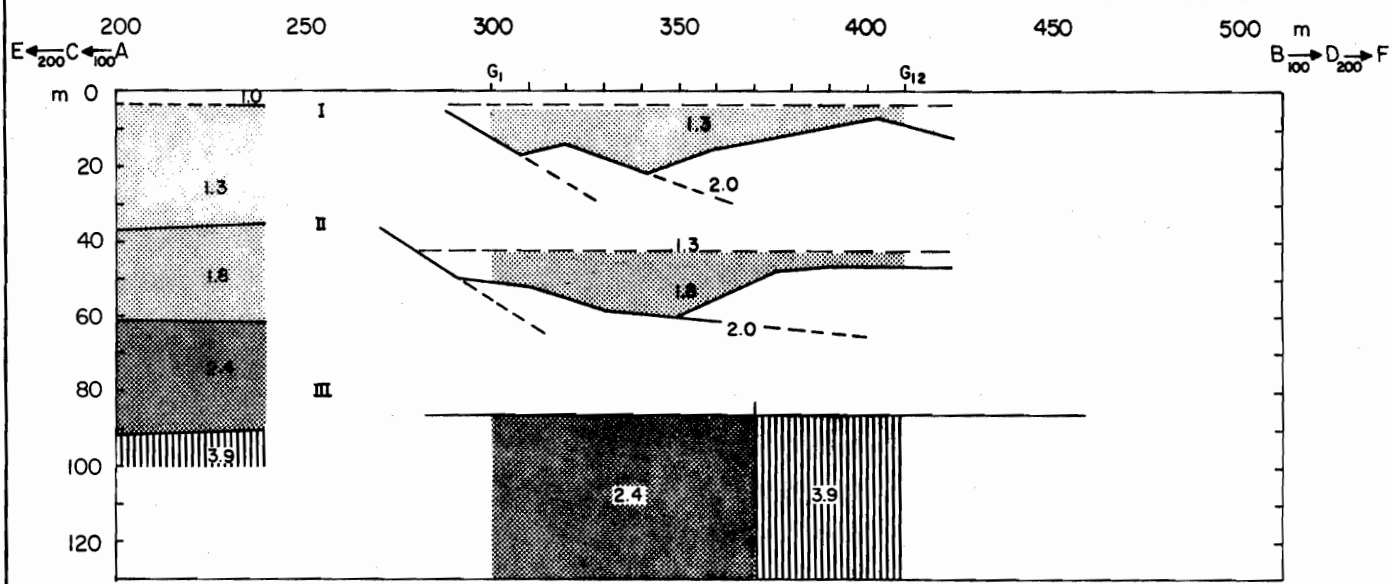
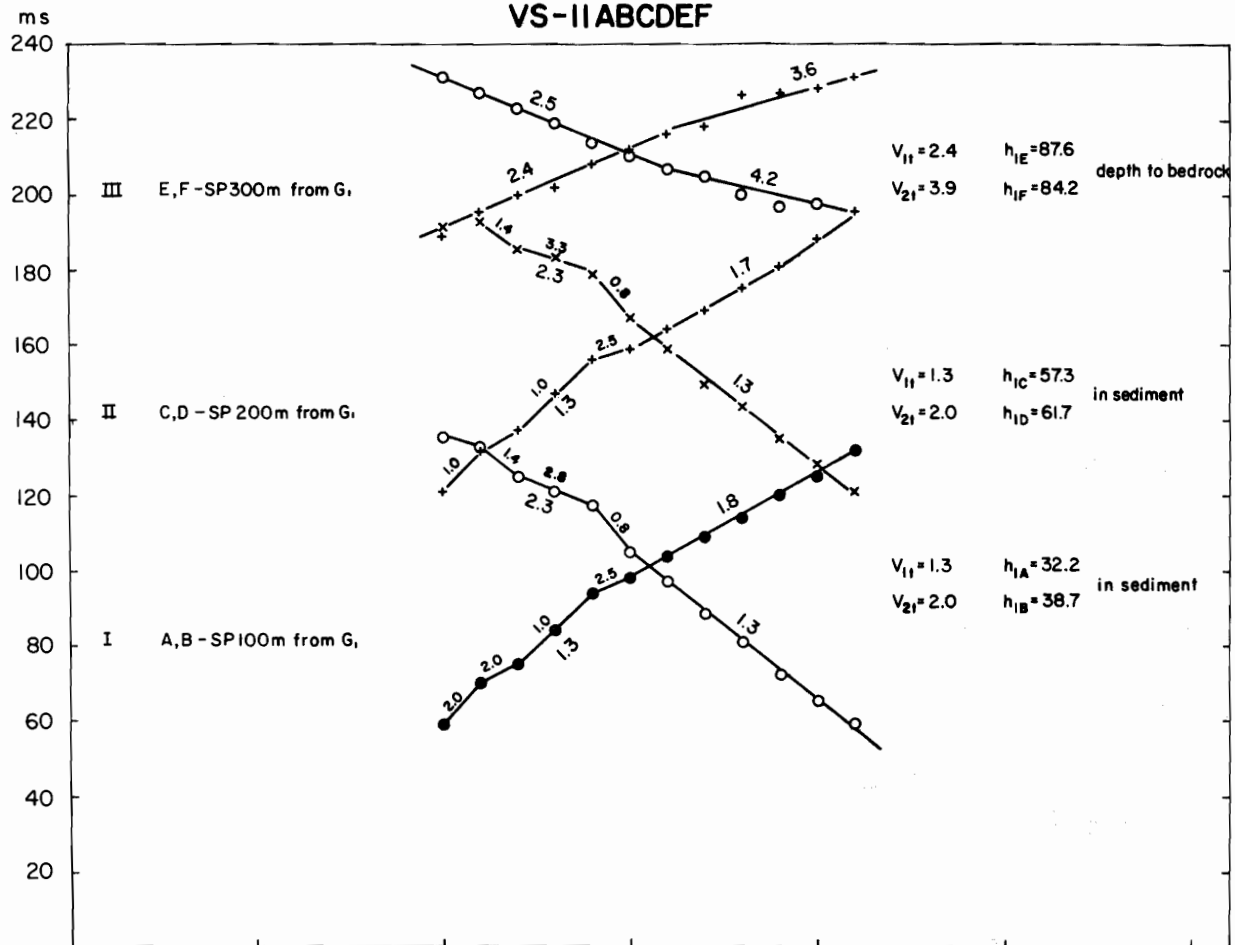
MYND 2.6

ORKUSTOFNUN

HLJÓÐHRAÐASNIÐ
(SEISMIC TIME-DISTANCE PLOTS)

IO 2.76 HG/e	Tr. 4 Tr. 323
B-195 J-J sv.m.	Fnr. I 3544

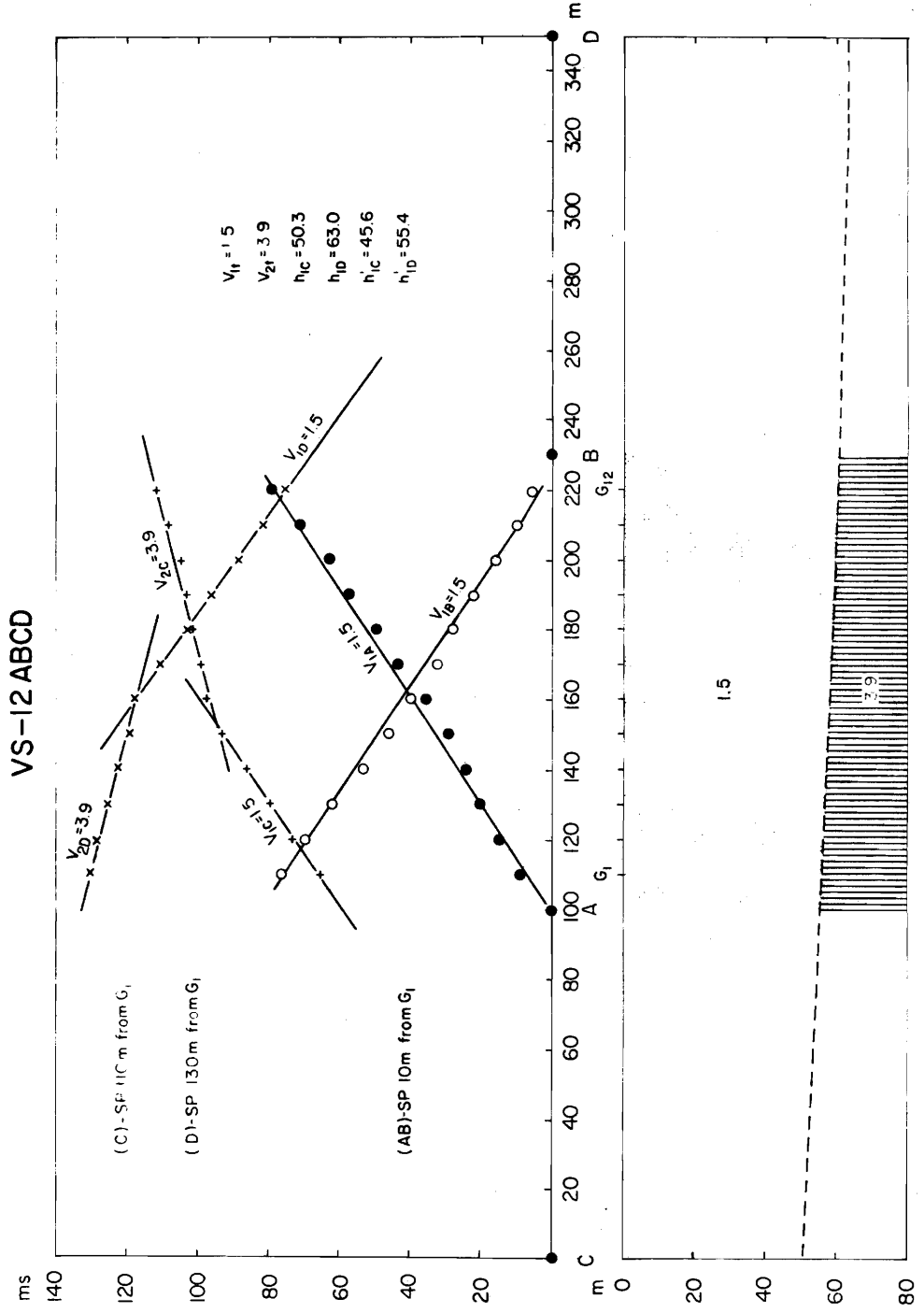
VS-II ABCDEF

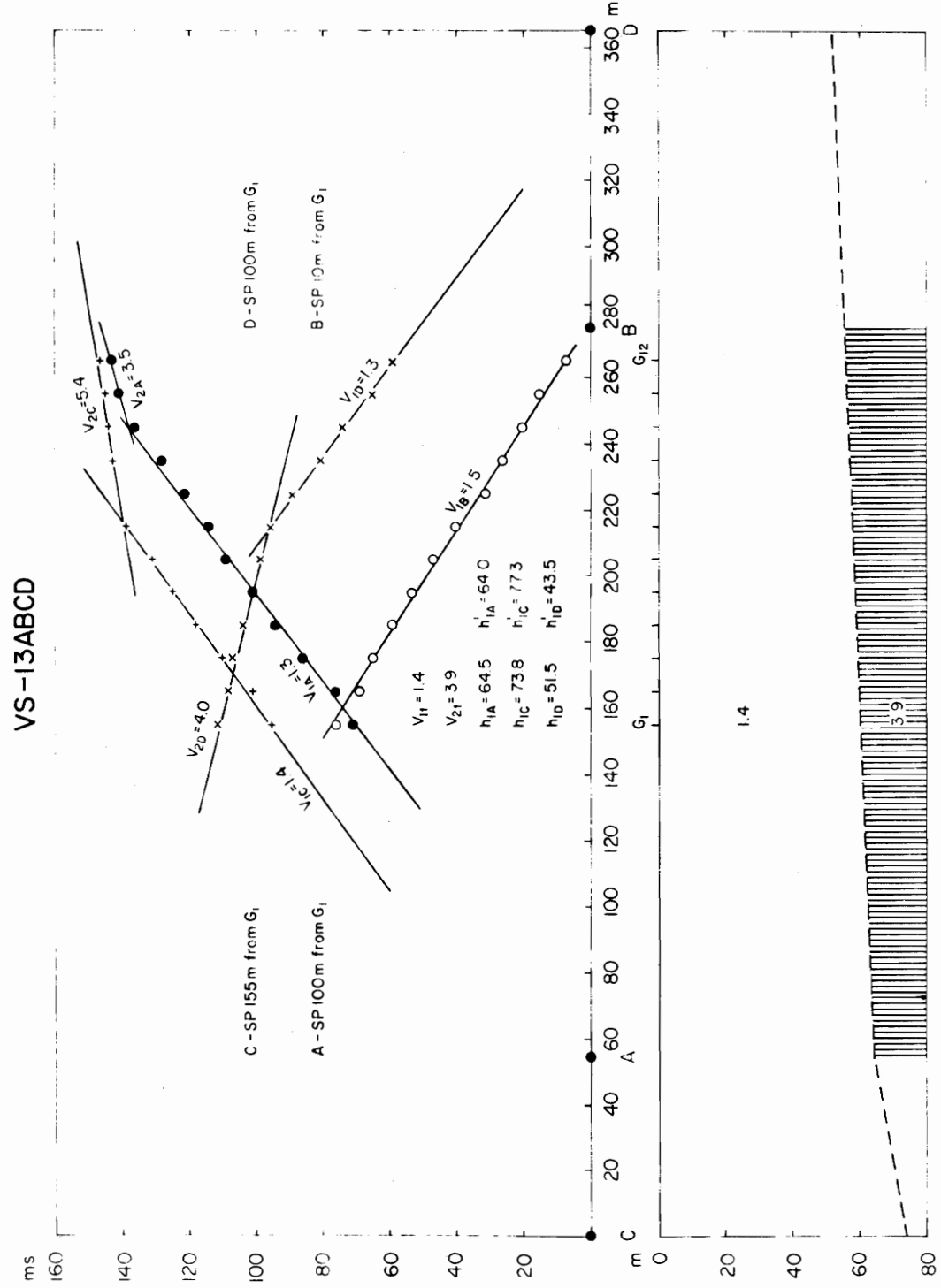


MYND 2.8

ORKUSTOFNUN

HLJÓÐHRAÐA SNIÐ
(SEISMIC TIME-DISTANCE PLOTS)
23.2.76 HG/e Tnr. 4 Tnr. 323 Fnr. I 354
B-95 J-Jsv.m



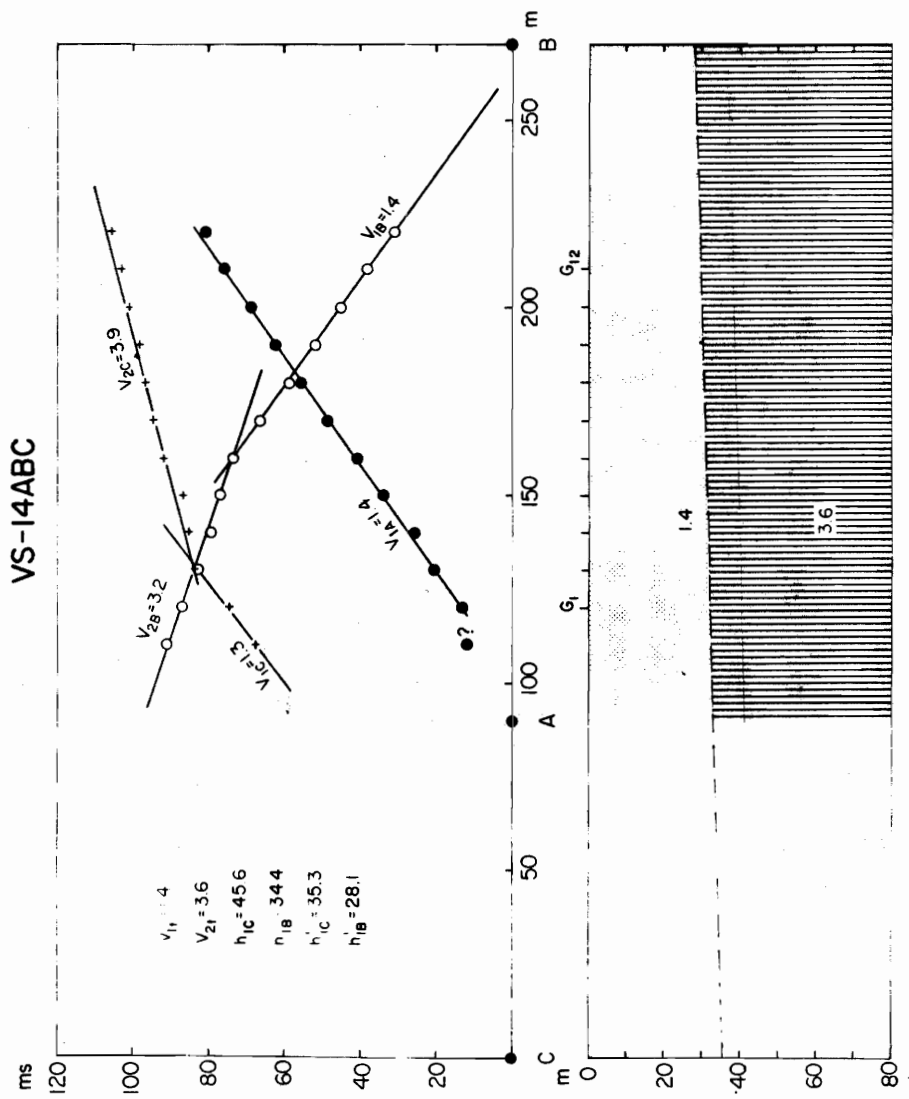


MYND 2.9

ORKUSTOFNUN

HLJÓÐHRAÐASNIÐ
(SEISMIC TIME-DISTANCE PLOTS)

24.2.76 HG/e	Tr. 4 Tr. 323
Bl-195 J-Jsv m	Fnr. 13544



MYND 210

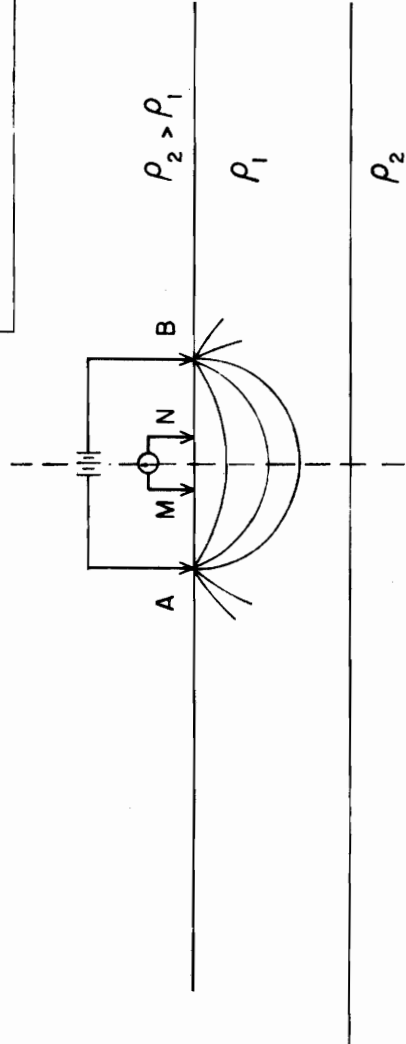
ORKUSTOFNUN

HLJÓÐHRAÐAÑNIÐ
(SEISMIC TIME-DISTANCE PLOTS)

18.2.76 HG/e Tnr. 4 Tnr. 323 | Fn nr. I 3544
B.I. 195 J-Sv.m.

ORKUSTOFNUN**VIÐNÁMSMÆLING**
Schlumberger uppsetning

19. I. '76	DE / H.O
Tnr. 39	Tnr. 1511
J-Ým	J-Viðnán
Fnr 13793	

a)

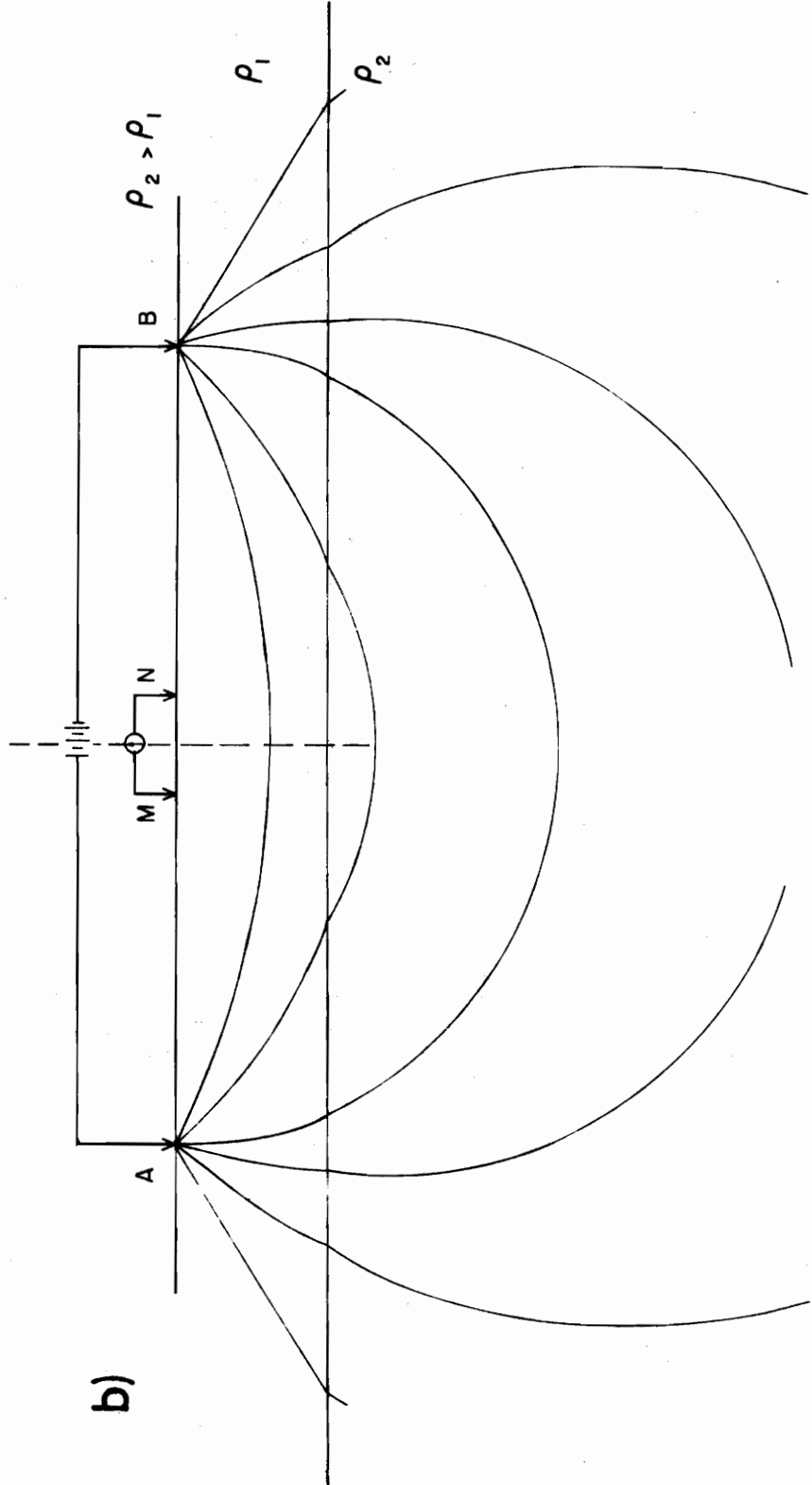
Mynd 3.1

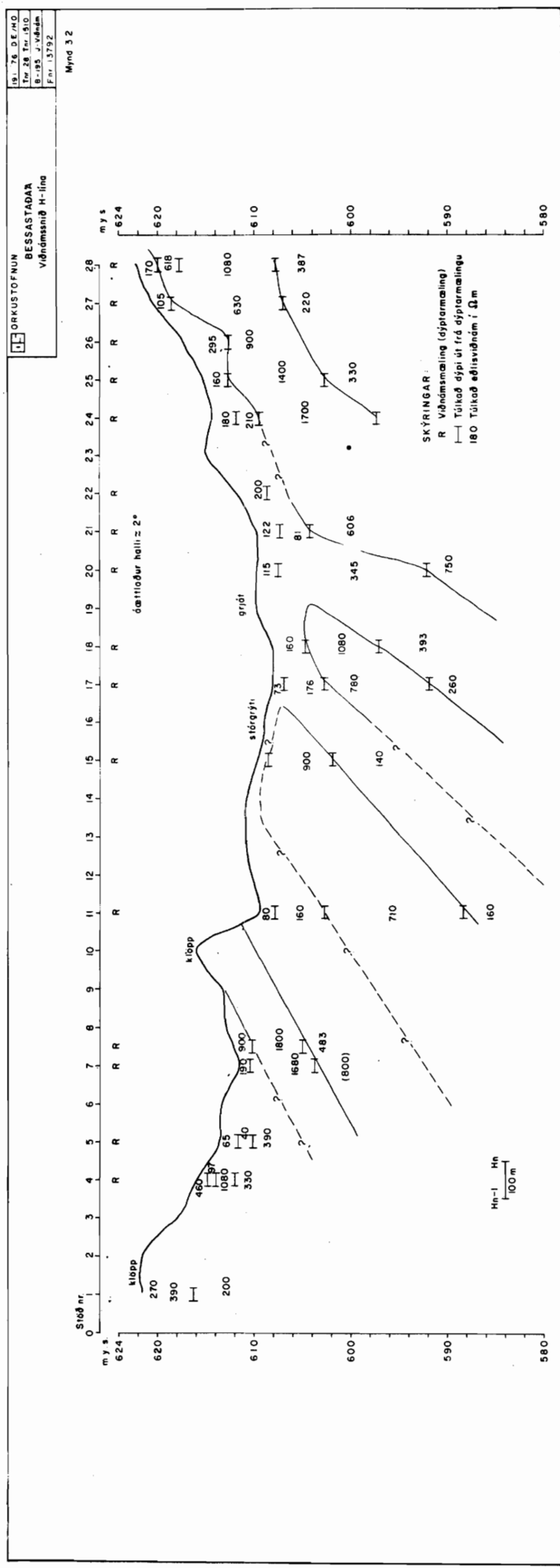
Viðnámsmæling, Schlumberger uppsetning

Stráumurinn I er sendur í gegnum skautin A og B og spennufallid síðan mælt milli tveggja annara skauta M og N. Schlumberger uppsetning AB 5MN

a og b

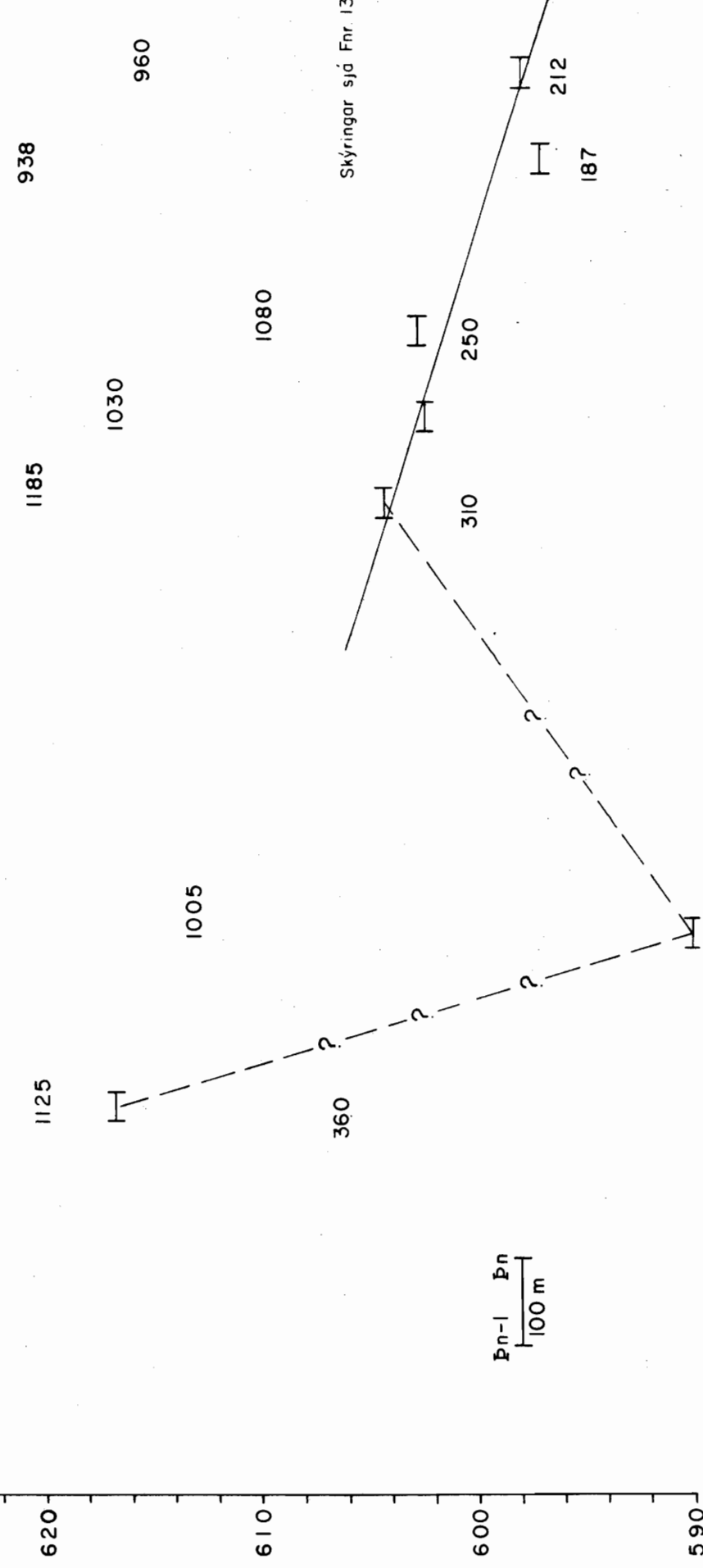
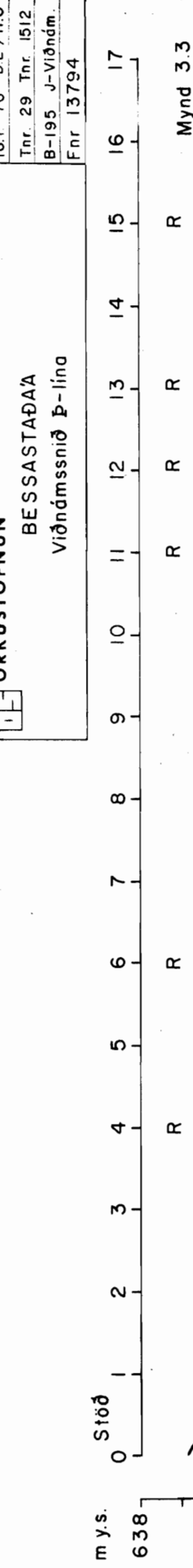
Vaxandi hluti rafstraumsins fer eftir sifellt dýpri jardlögum er bilið milli straumskautanna er aukið.

b)



ORKUSTOFNUN

BESSASTAÐAÐA
Viðnámsssnið Þ-lína



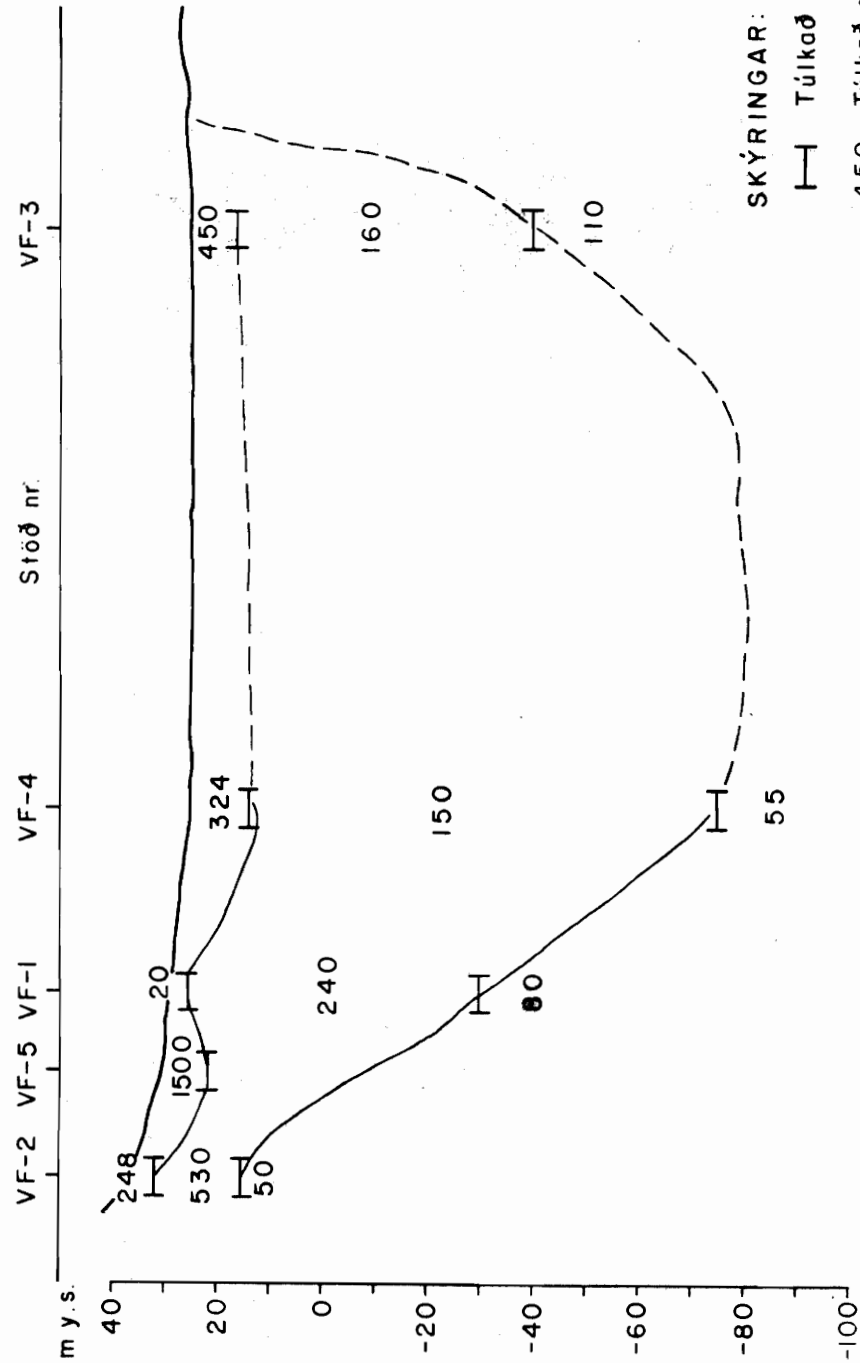


ORKUSTOFFNUN

BESSASTAÐA
Viðnámsnáð - Fljótsdalur

'76 03 02 DE/HQ
Tnr 1565 Tnr 33
J-Vðnám B-195
Fnr 13970

Mynd 3.5

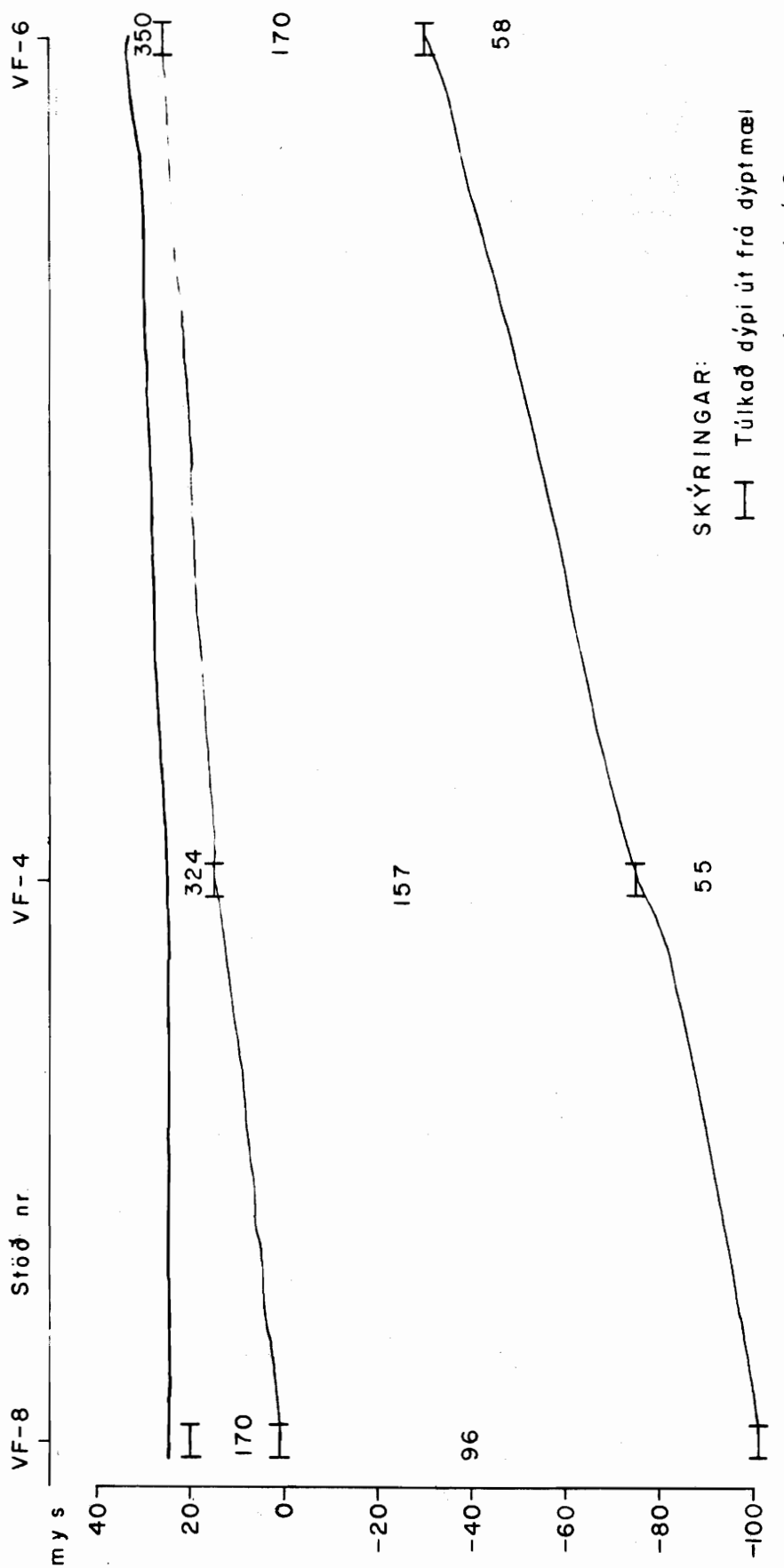


0 100 200 300 400 m

<input checked="" type="checkbox"/> ORKUSTOFNUN	'76.03.02. DE/HO
	Tnr. 1566 Tnr. 34
	J-Viðnám. B - 195
	Fnr. 13971

BESSASTAÐAÐ
Viðnámsnirð - Fljótsdalur

Mynd 3.6



SKÝRINGAR:

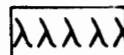
— Túlkad dýpi út frá dýpt með

324 Túlkad eðlisviðnám í 0 m

0 100 200 300 400 m

SKÝRINGAR

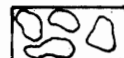
Jarðlog í botni gryfju:



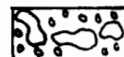
Klopp



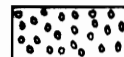
Stórgrýti eða klöpp



Stórgrýti, grjót



Jökulruðningur



Möl

Staðsetning:

P 2 Borro borun

 Gryfja (þvermál ≈ 3 m)

IOAB Jarðsveiflumæling

R Viðnámsmæling (dýptarmæling)

Dýptarákværðanir:



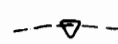
Gryfja



Borro borun



Jarðsveiflumæling (critical distance)



(time intercept)



Viðnámsmæling (dýptarmæling)

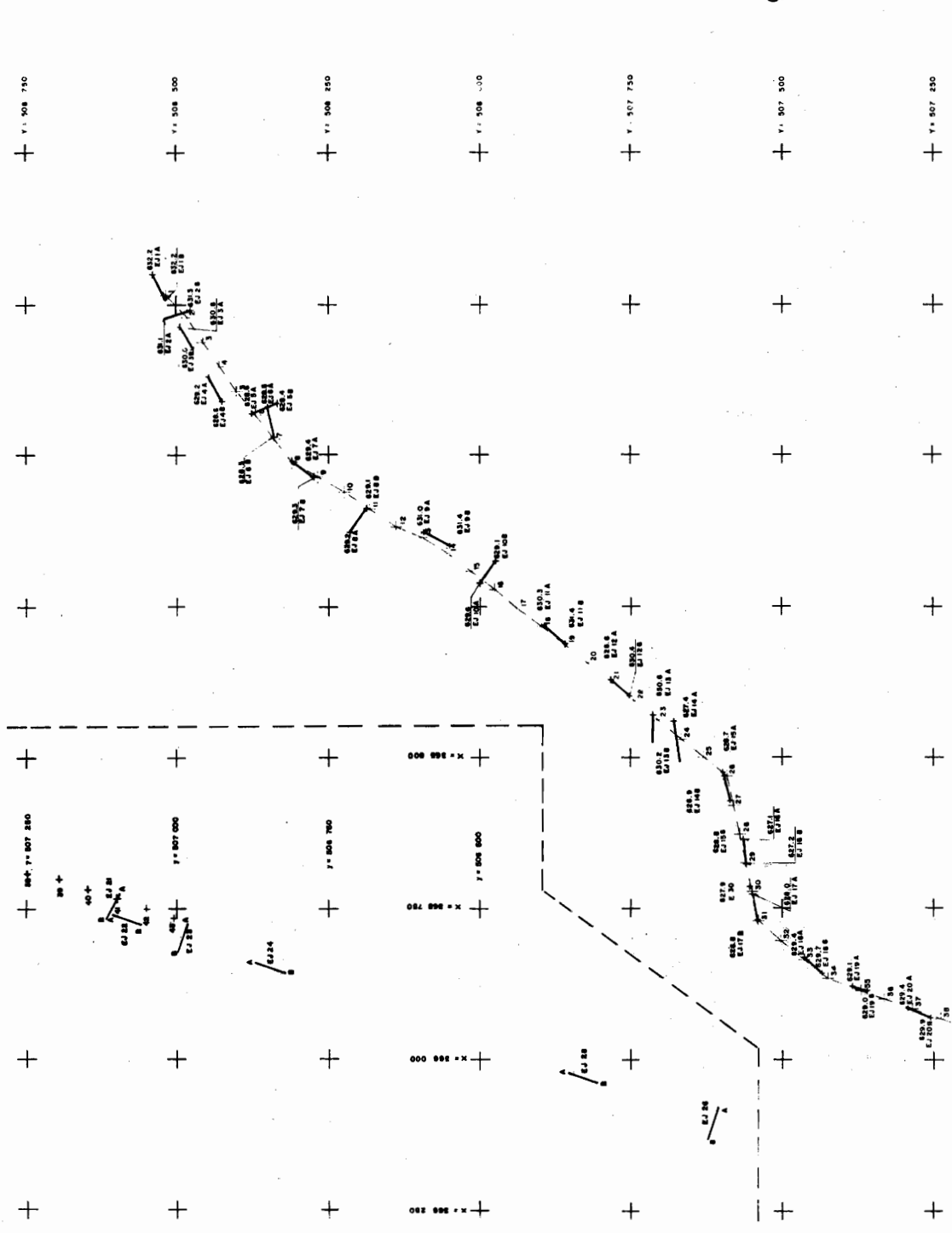


(lengdarmæling)

0,3 3,1 Hljóðhraðalög km/sek

170 Ωm Viðnámslög ohm-m

Tekið er tillit til lögunar lengdarmælingar-
ferils við tengingu milli dýptarpunkta



ORKUSTOFNUN
RESSASTADÍABVIK Í ÍN

BESSASTAÐÁÁRVÍRKJUN

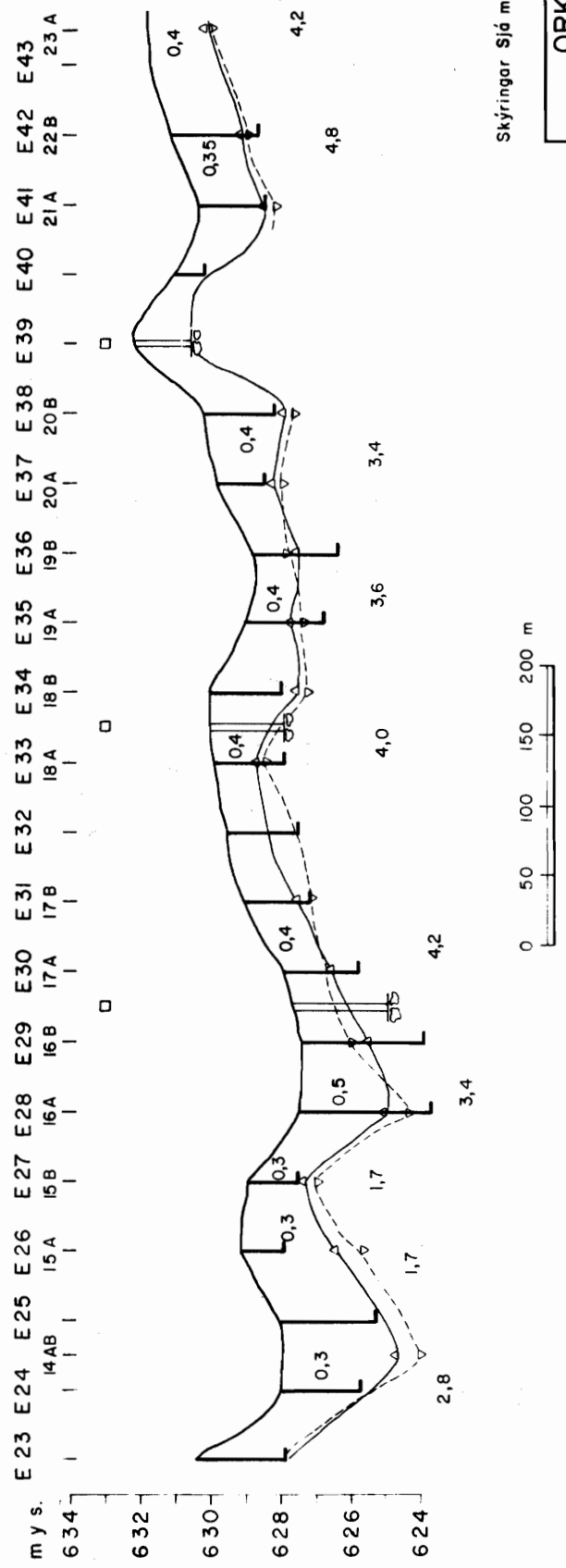
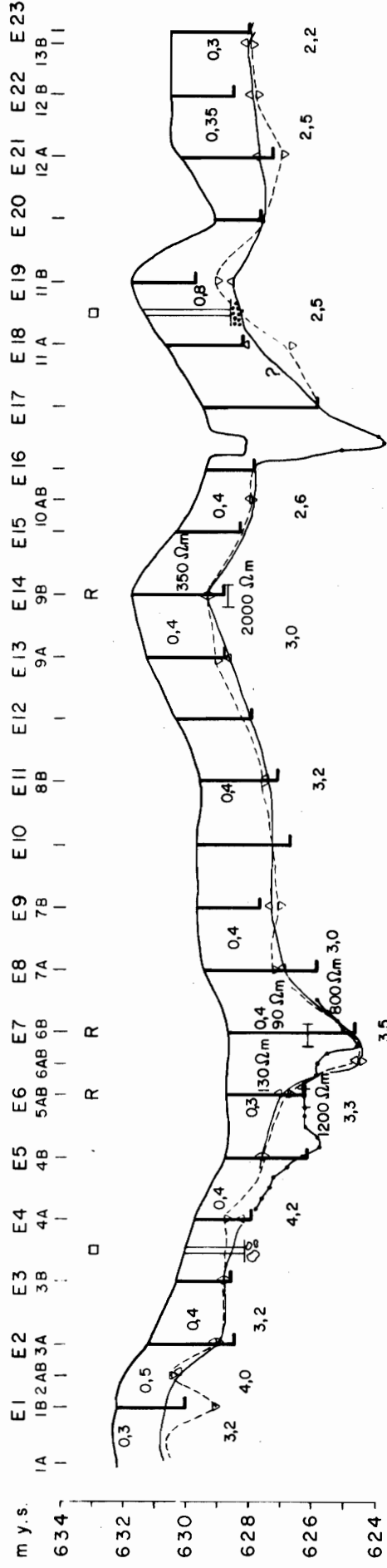
X = 996 950
Y = 107 000
X = 954 750

x = 365 250

x = 365 300

+ 000 995 * x

Mynd 4.3



Skýringar Síða mynd 4.1

ORKUSTOFFNUN

BESSASTADAARVIRKJUN

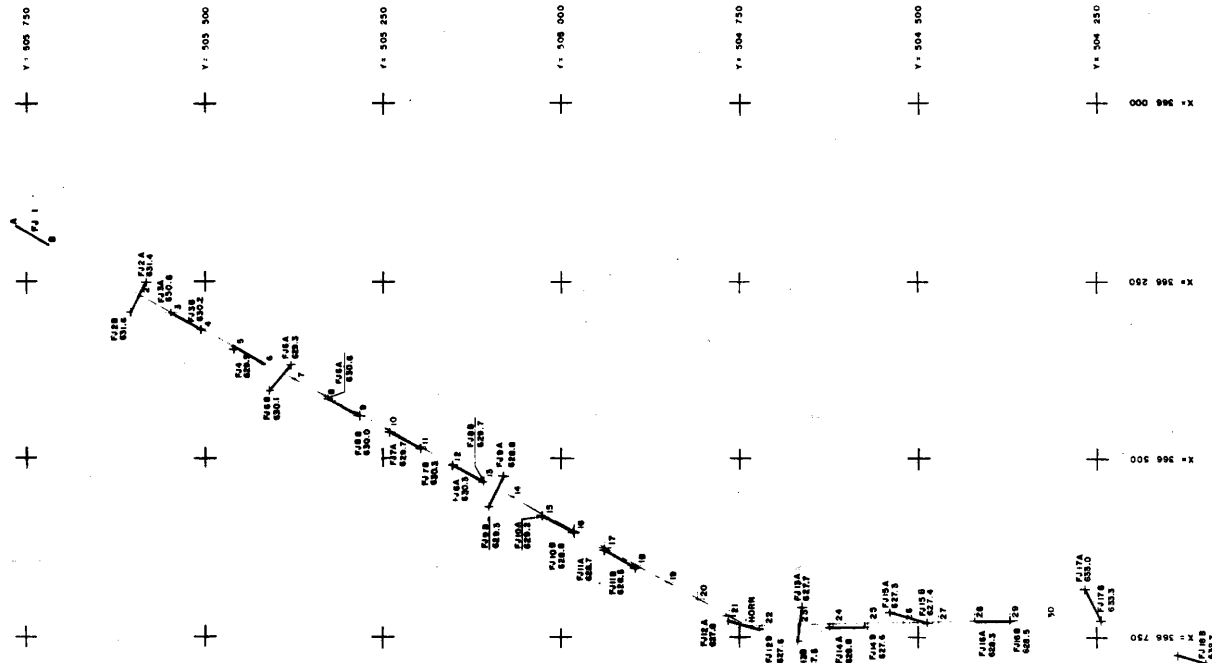
Jardlagsnís E-lína

31275HGDE/GU/HU Tr. 7 Thr 1492
B. 195 J-V Þórhálmur Fnr. 13735

En-l 50m En

0 50 100 150 200 m

F-STÍFLA — MÍDLÍNA



SKÝRINGAR:

HMITAKERFI : LANDSKERFI
HEDAKERFI : OS - NA - LAND

Mynd 4.4

ORKUSTOFNUN
BESSASTADAÁRVIRKJUN

F-STÍFLA

STADSETTNING SPRENGHÉLA
Höfnabæki 9 sumar 5440 & 8430

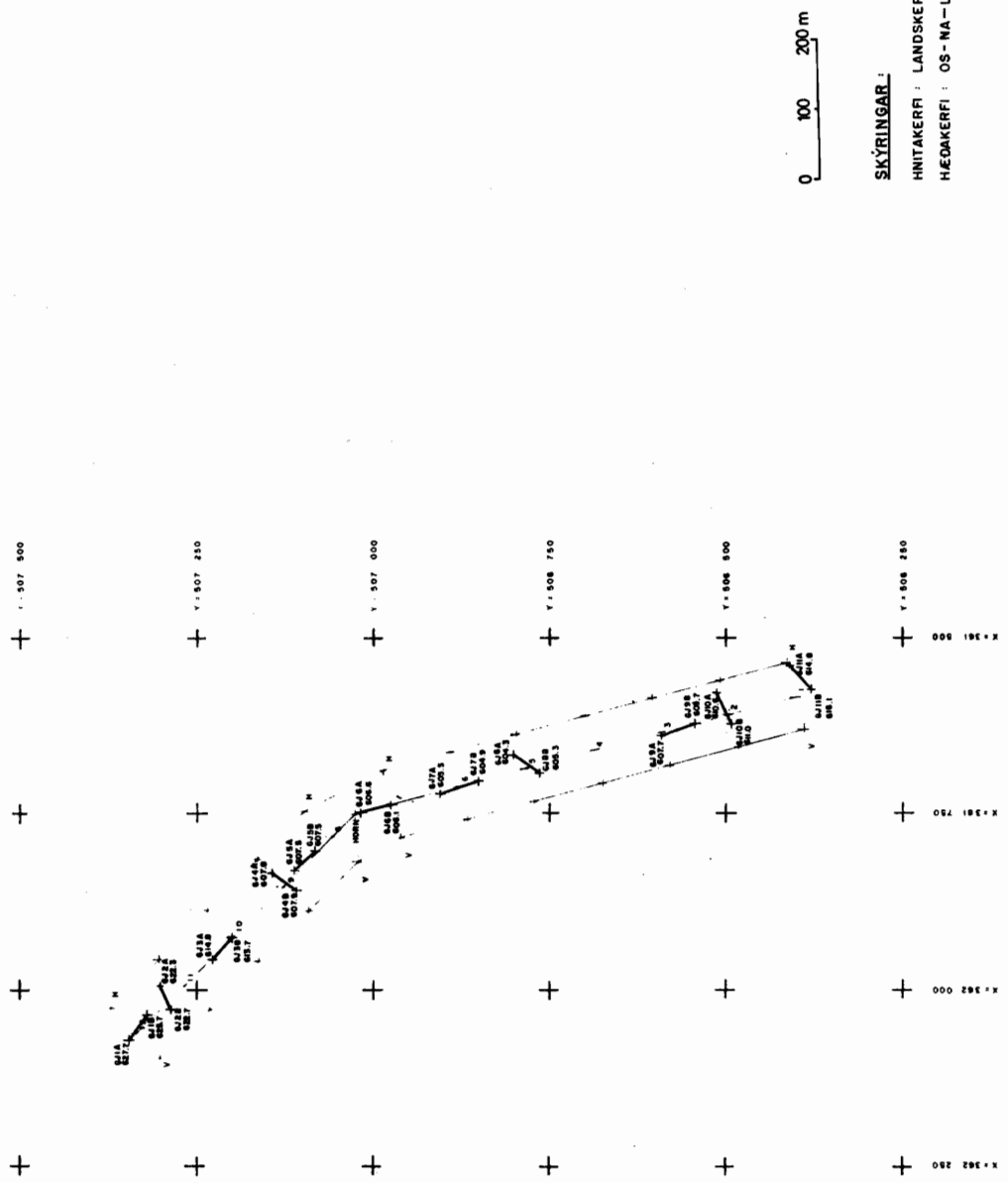
HÖNNUN

74 600



Hennab	GRT	GRS
Tenab	—	—
Vinnab	—	—
Verkfræðistoffa	74 600	74 600

GARDASTÍFLA - MÍDLÍNA : HLIDARLÍNUR

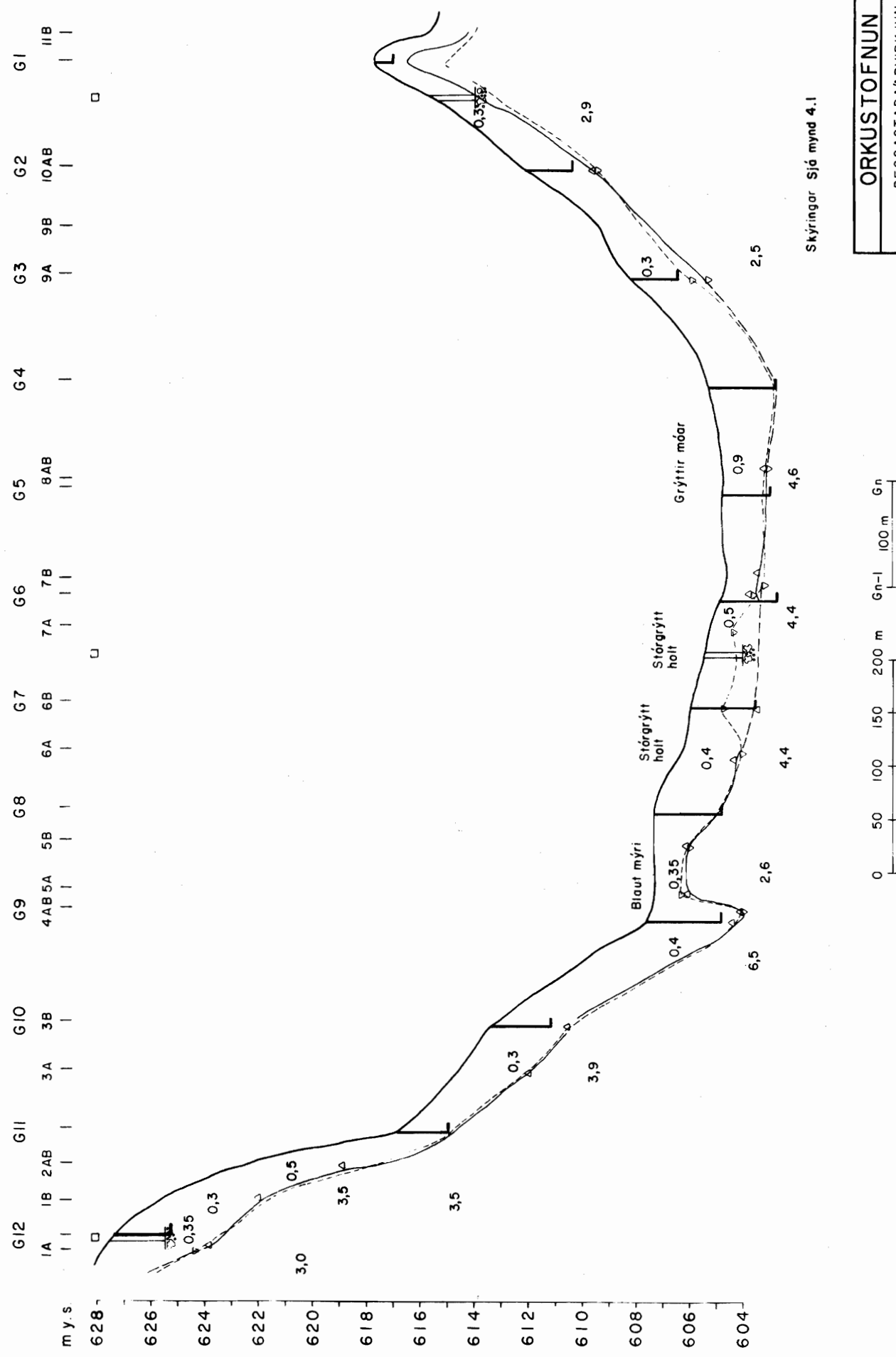


Mynd 4.6

ORKUSTOFNUN

BESSASTADA'ARVIRKJUN

GARDASTÍFLA	Hannab	SEPT '75	G.F.S.
STABSETNING SPRENGIHÉLA	Teknab	—	Kopo
HÖNNUNN	Virkfrabistofa	—	Yiftirib
	Hönnunnið 9. ársins 84-85 s. 44800	74600	



Skýringar Sjá mynd 4.1

ORKUSTOFNUN	
BESSASTADAARVIRKJUN	Jardlagesnís. G - lína
6176HGDE/GJ/H0	Tnr 9 Tnr 1494
B-195 J-Víðiðan	Fnr 13737

D-STIFLA - MIDLINA, HLIDARLINUR

A scatter plot showing the relationship between V_1 and V_2 for various data series. The x-axis is labeled "V1 300 750" and the y-axis is labeled "V2 300 750". Data points are represented by '+' symbols and are color-coded: red, green, blue, yellow, and black. Some points are also marked with small circles. A dashed diagonal line represents the identity line ($y=x$).

0 100 200 m

SKYRINGAR:

HNTAKERFI : LANDSKERFI
HÆDAKERFI : OS - NA - LAND

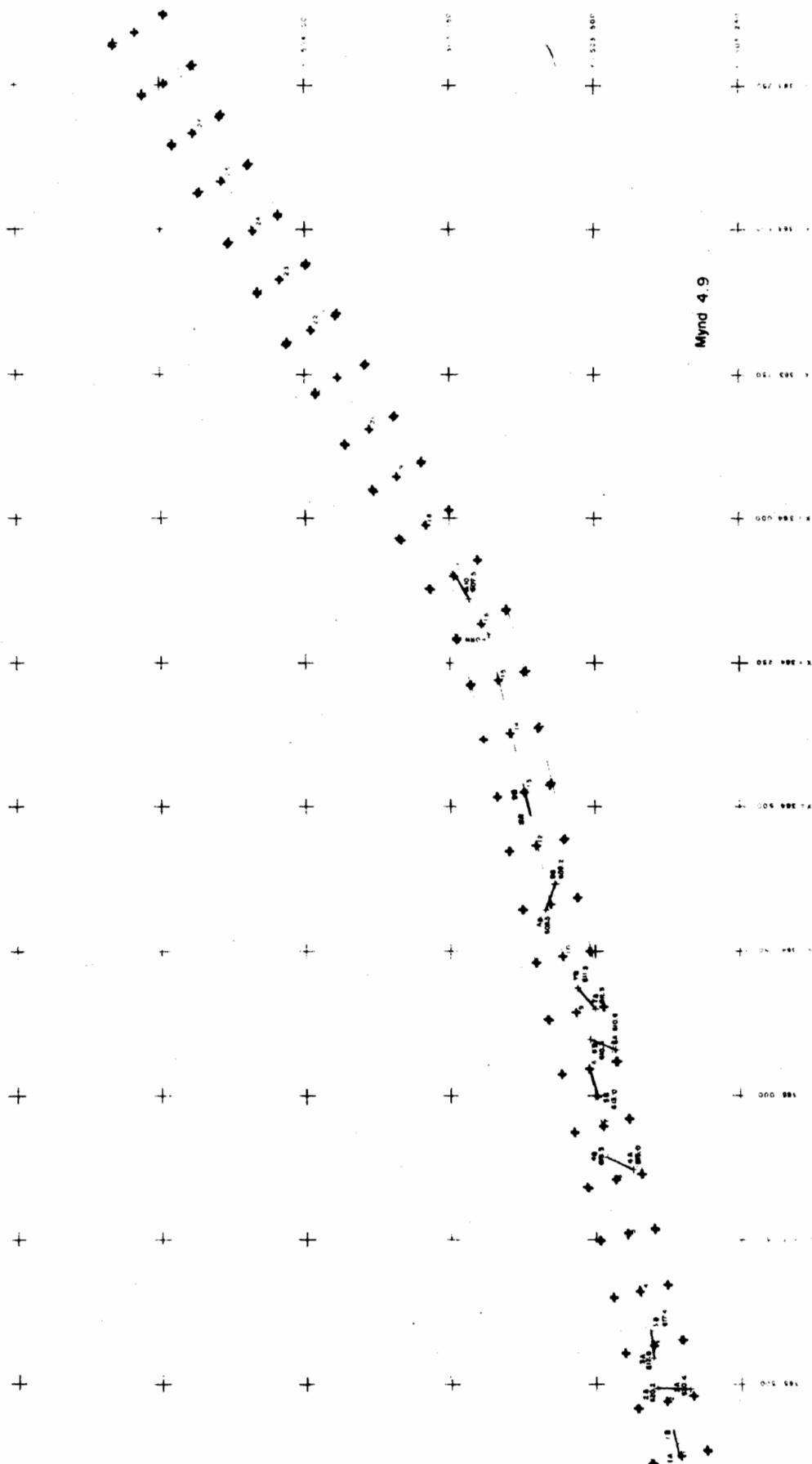
Mynd 4.8

ORKUSTOFNUN

BESSASTADAÅRVIRKJUN

D-STIFLA

STADSETING SPRENGHÆ



Mynd 4.9

SKÝRINGAR:
HINTAKERFI: LANDSKERFI
HEÐSKERFI: OS-NA-LAND

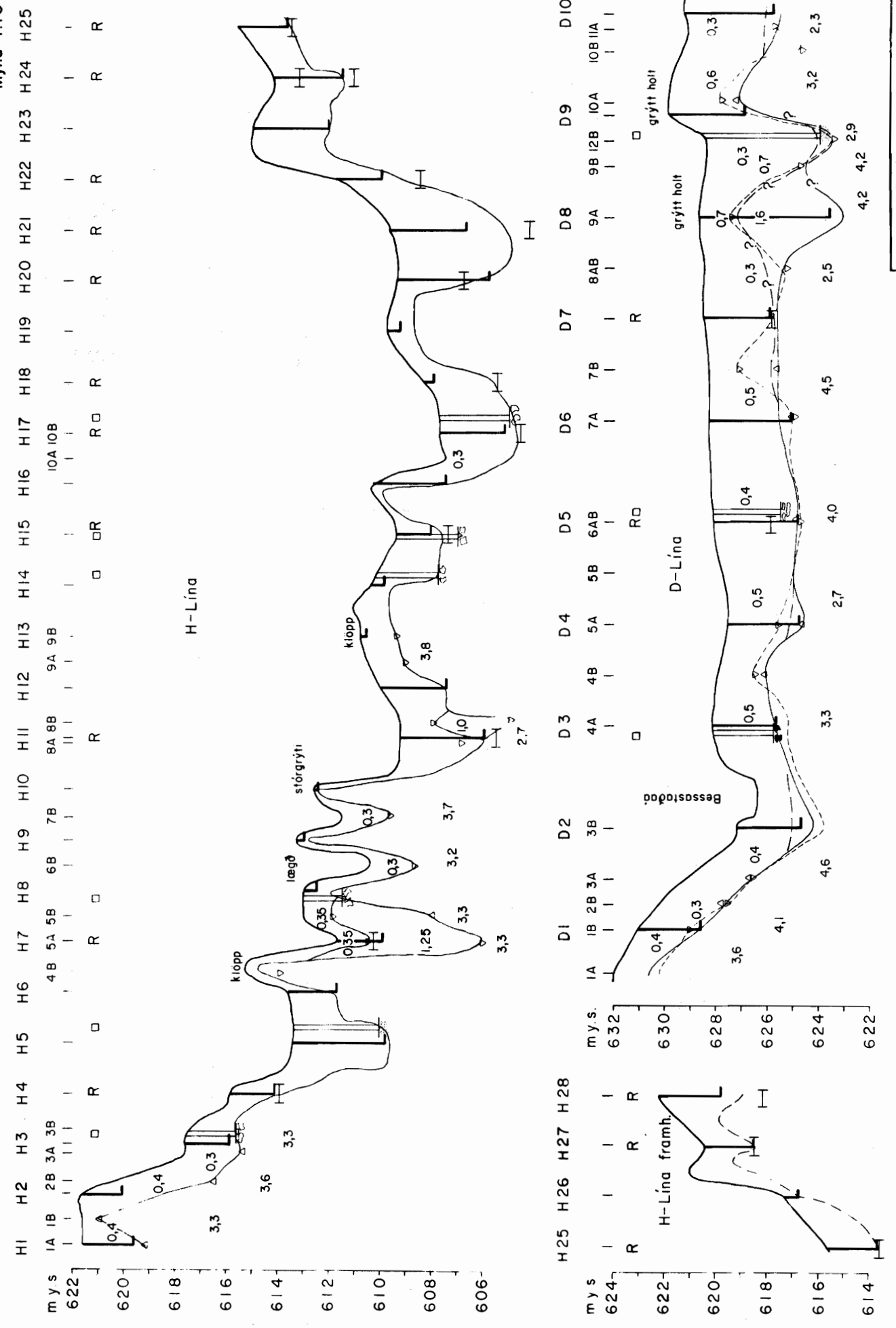
0 100 200 m

ORKUSTOFNUN
BESSASTADAÐARVÆRKJUN

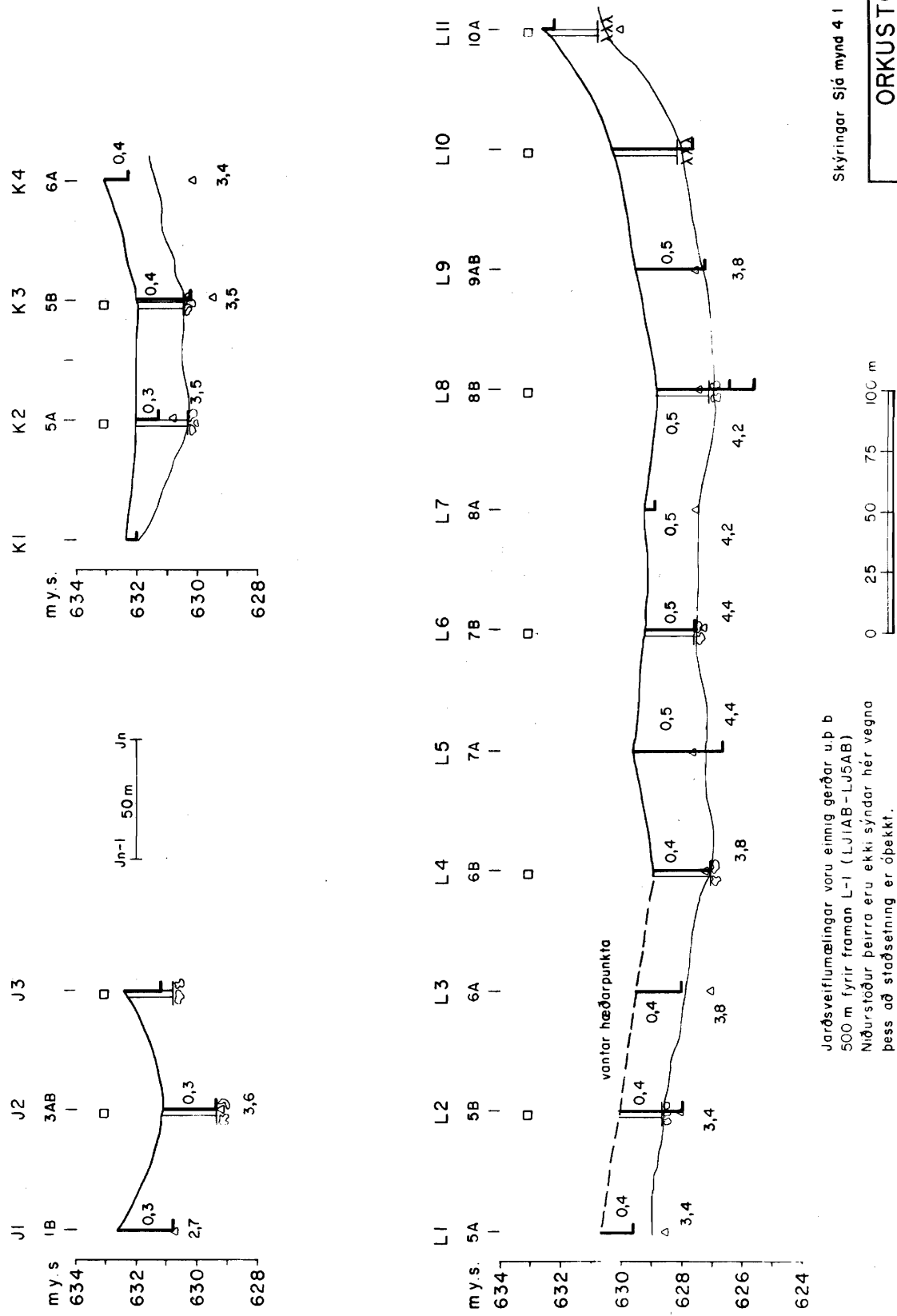
HÓLMAVATNSSTÍFLA	SEFT-14	GFS
STADSETNING SPRENGIHÉLA	TENNES	KÁRDI
HÖNNUUN	Varmfræðistofa	Vinnslu

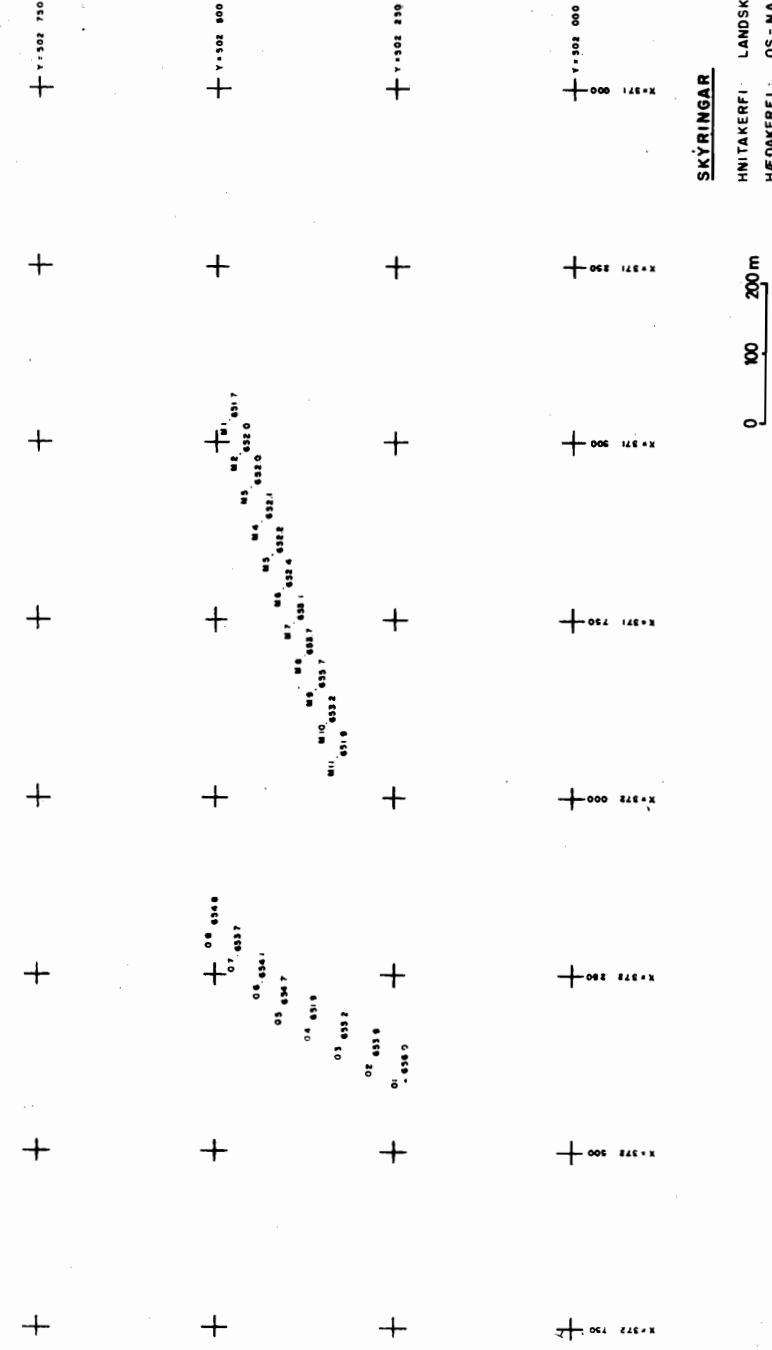
Varmfræðistofa	74600
----------------	-------

Mynd 4.10



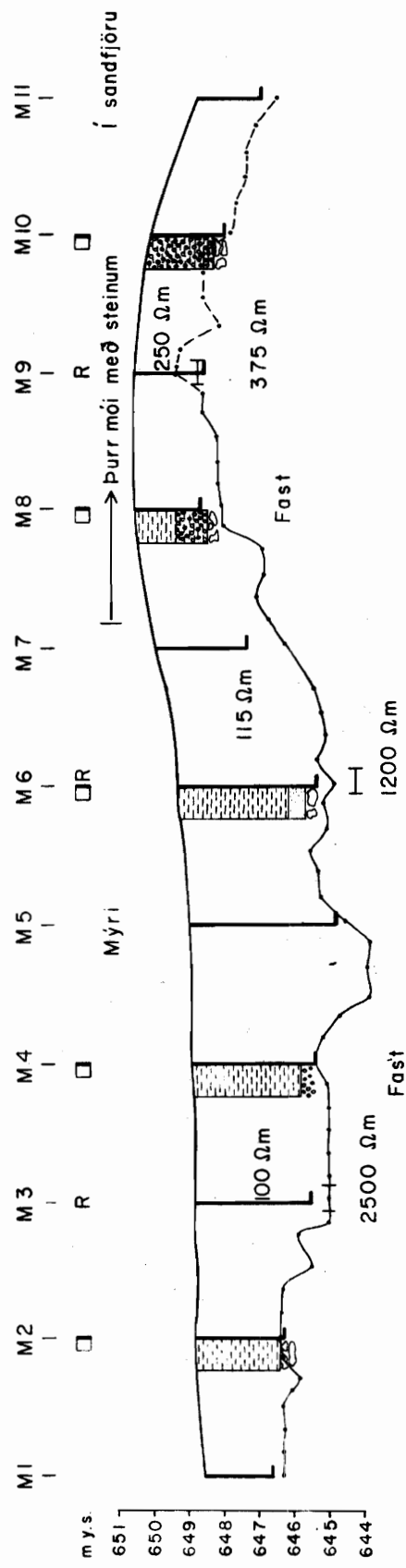
Mynd 4.12





Mynd 4.13

ORKUSTOFNUN	Mars 76	B.R.
BESSASTADÁRVIRKJUN	Hennar	L.A.
O-STÍFLA	Teknok.	
M-SKURDUR	Virkfæstistofa	
HÖNNUN	Hölfabakka 9 Síðanum 84400 a 84400	74 600



SKÝRINGAR:

- Mold, myrar- og móðjarðavegur
- Silt og leir
- Sandur
- Möl
- Stórgryti eda klöpp
- Klöpp
- Gryfja (þvermáli ≈ 3 m)
- Viðnámsmælling (dýptormæl)

- Dýpi fengið með Borro-borun
- Dýpi fengið með viðnáms-mællingu (dýptormæling)
- Dýpi fengið með viðnáms-mællingu (lengdormæling)

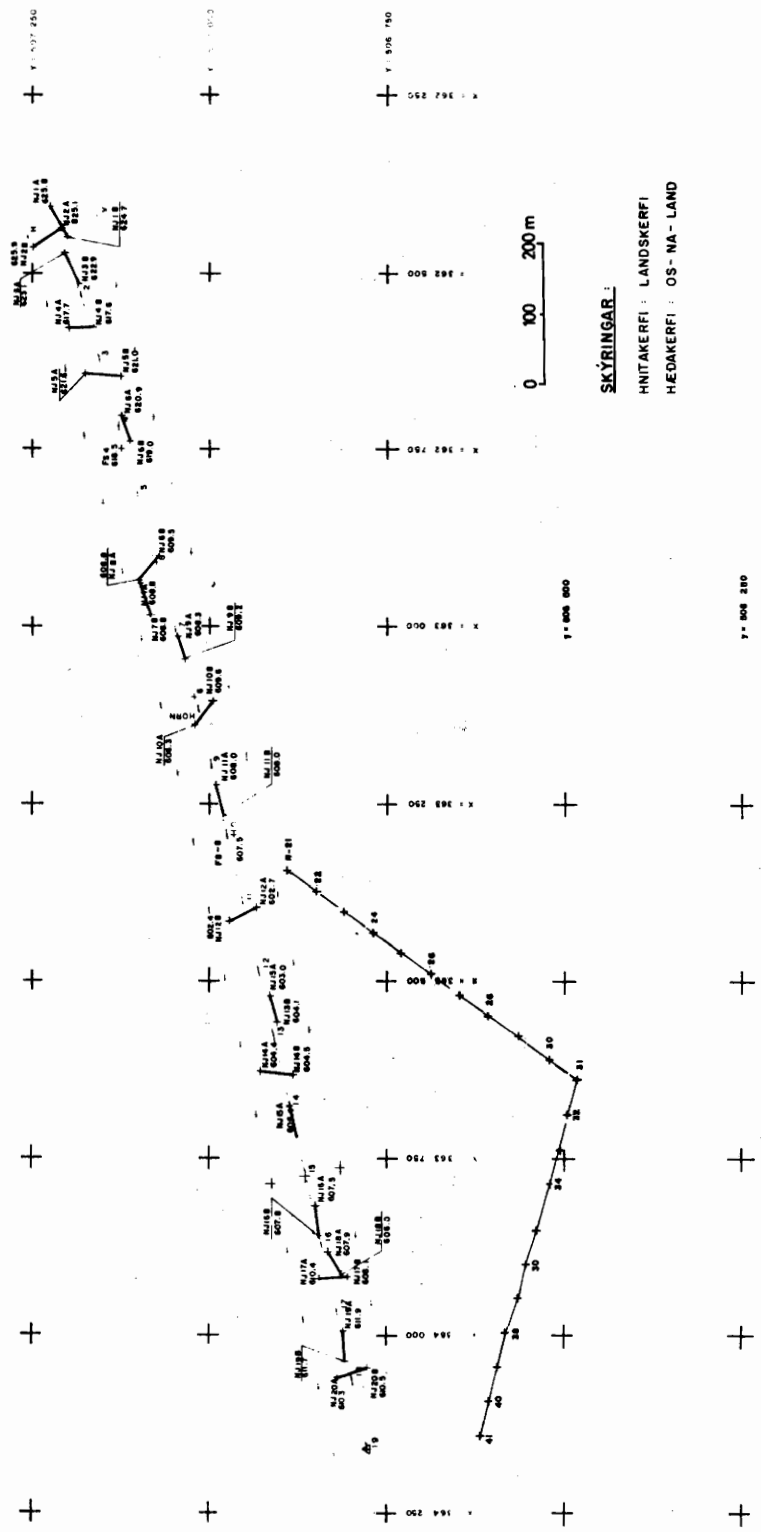
0 50 100 m

ORKUSTOFNUN

BESSASTADAÐAÐARVIRKJUN
Jordlagsstofnun. M-lína

22.12.76 DEG/Mn Tr. 6 Tr. 1491
B-195 J-V (Sndm) Fn. 13734

NORDURSTÍFLA - MIÐLÍNA, HLÐARLÍNUR



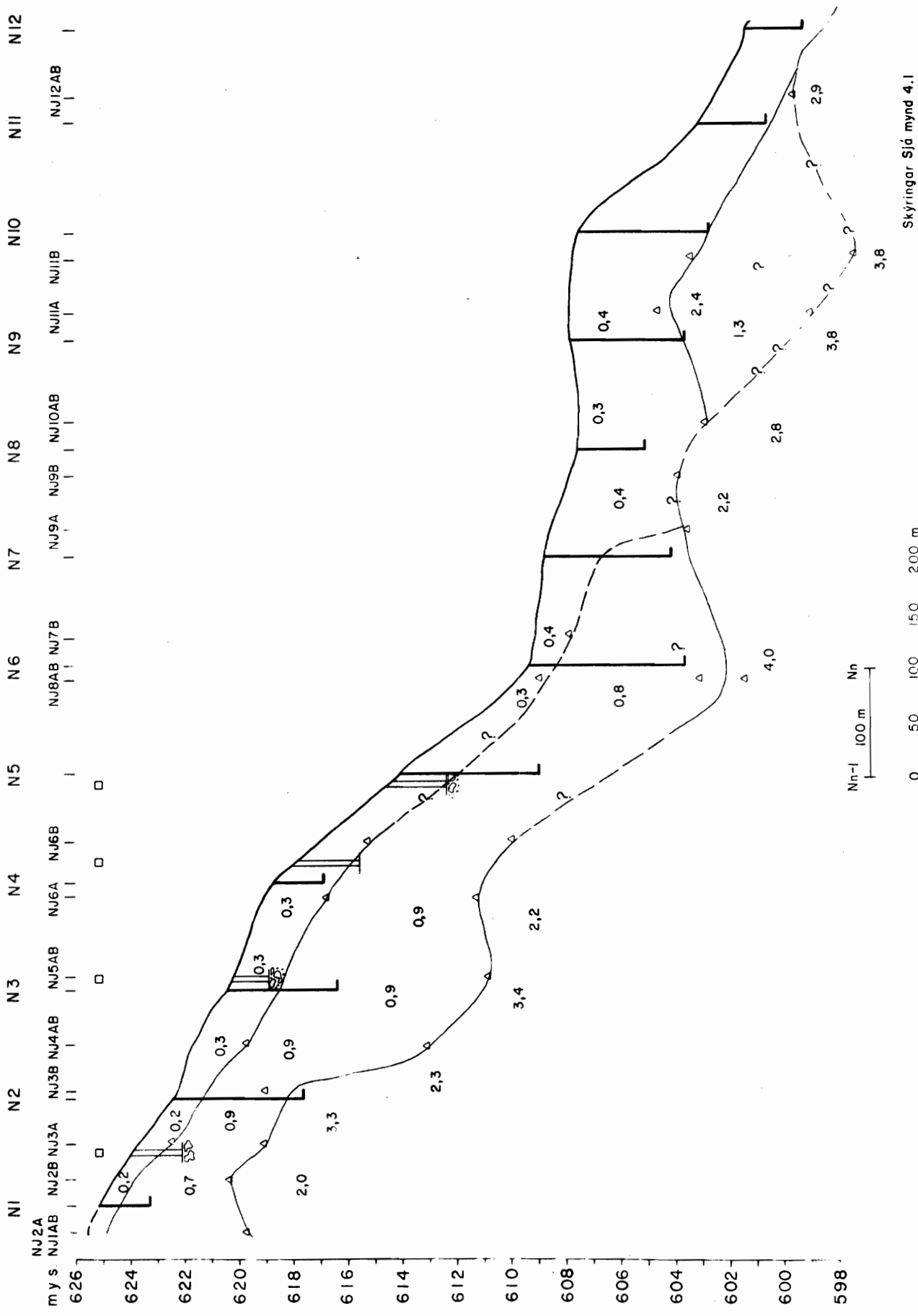
Mynd 4.15

ORKUSTOFNUN
BESSASTADA'ARVIRKJUN

ORKUSTOFNUN	BESSASTADÁRVIRKJUN	Hannab	SEPT 175	6 F S
NORDURSTÍFLA		Tskhab	-	Kábo
		Yirraráb	-	
	STABSETNING SPRENGIHÉLA			
HÖNNUN	Verkfriðistofa	Höfðabæta 9 til meira 8440 a 8440		74600

HNI AKERFI : LANDSKERFI
HÆDAKERFI : OS-NA-LAND

Mynd 4.16



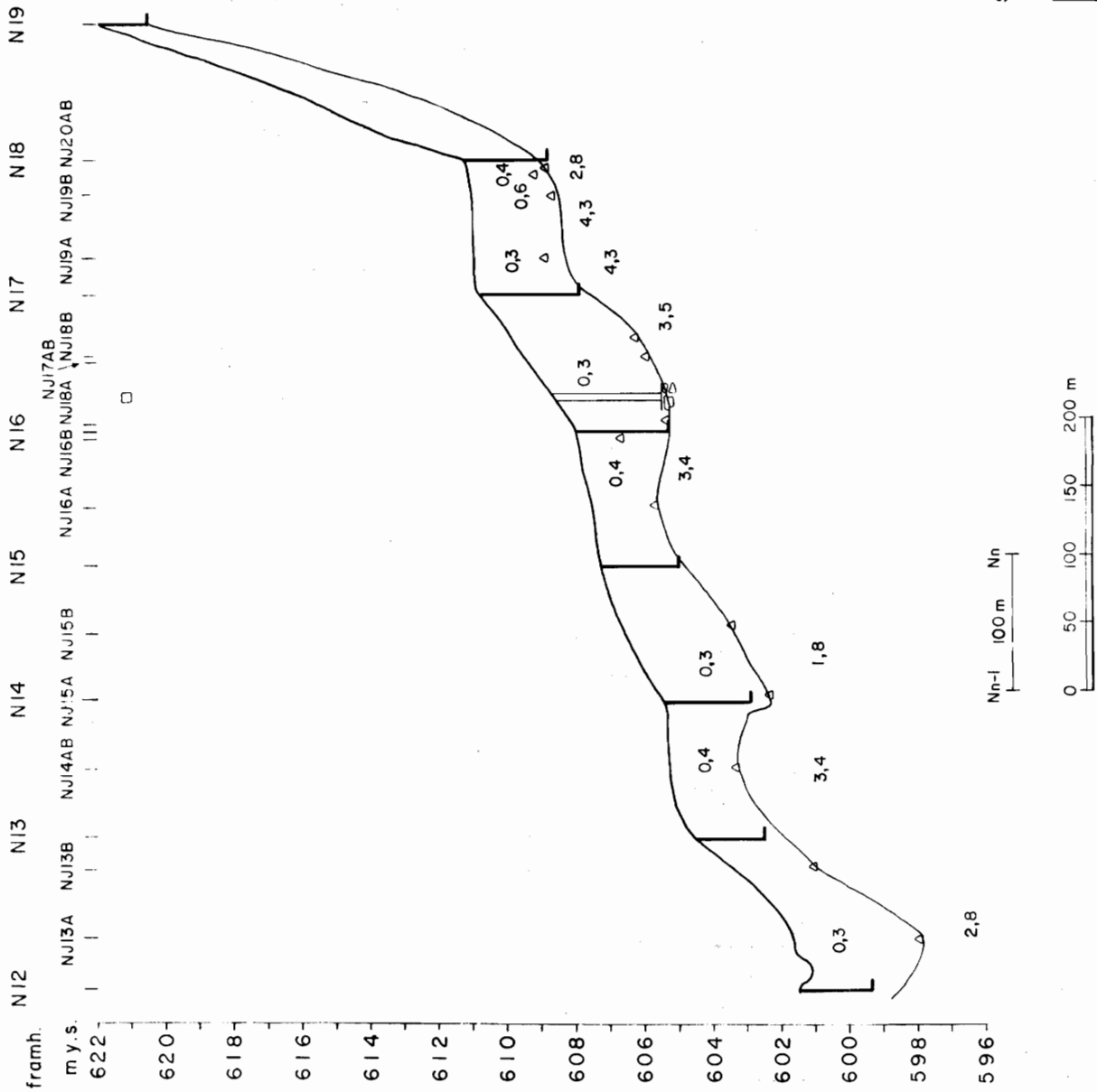
Skýringar Síð mynd 4.1

ORKUSTOFNUN

BESSASTADAARVIRKJUN
Jarfagögnin N-lína

Erl. 1 af 2 B-195 J-Vinn. Fnrt. 13788
Erl. 2 B-195 J-Vinn. Fnrt. 13788

Mynd 4.17



ORKUSTOFNUN

BESSASTADAÐARVIRKJUN
Jordfangsníð N-Íslands

2176 HGD/GJ/HG | Tr. 25 Tr. 1607
Blad 2 of 2 B-195 J-Viðn | Fnrt. 13788

ORKUSTOFNUN	BESSASTADÐAÐRVIRKJUN
O - STÍFLA	Hannab MAIZZ '76 Teiknab B R
M - SKURDUR	L A
	Vilniusib
HÖNNUN	Verkfræðistofa
	Höfnaskála & sínar 84440 & 84420
	74 600

Mynd 4.18

SKÝRINGAR
HNI TAKERFI LANDSKERFI
HÆDAKERFI OS - NA - LAND

0 100 200 m

+ v + 502 000
000

+ v + 502 250
000

+ 000 145+x

+ 000 225+x

+ 000 245+x

+ 000 245+x

+ 000 245+x

+ v + 502 000

+ v + 502 250
000

+ 000 145+x

+ 000 225+x

+ 000 245+x

+ 000 245+x

+ v + 502 000

+ v + 502 250
000

+ 000 145+x

+ 000 225+x

+ 000 245+x

+ 000 245+x

+ v + 502 000

+ v + 502 250
000

+ 000 145+x

+ 000 225+x

+ 000 245+x

+ v + 502 000

+ v + 502 250
000

+ 000 145+x

+ 000 225+x

+ 000 245+x

+ v + 502 000

+ v + 502 250
000

+ 000 145+x

+ 000 225+x

+ 000 245+x

+ v + 502 000

+ v + 502 250
000

+ 000 145+x

+ 000 225+x

+ 000 245+x

+ v + 502 000

+ v + 502 250
000

+ 000 145+x

+ 000 225+x

+ 000 245+x

+ v + 502 000

+ v + 502 250
000

+ 000 145+x

+ 000 225+x

+ 000 245+x

+ v + 502 000

+ v + 502 250
000

+ 000 145+x

+ 000 225+x

+ 000 245+x

+ v + 502 000

+ v + 502 250
000

+ 000 145+x

+ 000 225+x

+ 000 245+x

+ v + 502 000

+ v + 502 250
000

+ 000 145+x

+ 000 225+x

+ 000 245+x

+ v + 502 000

+ v + 502 250
000

+ 000 145+x

+ 000 225+x

+ 000 245+x

+ v + 502 000

+ v + 502 250
000

+ 000 145+x

+ 000 225+x

+ 000 245+x

+ v + 502 000

+ v + 502 250
000

+ 000 145+x

+ 000 225+x

+ 000 245+x

+ v + 502 000

+ v + 502 250
000

+ 000 145+x

+ 000 225+x

+ 000 245+x

+ v + 502 000

+ v + 502 250
000

+ 000 145+x

+ 000 225+x

+ 000 245+x

+ v + 502 000

+ v + 502 250
000

+ 000 145+x

+ 000 225+x

+ 000 245+x

+ v + 502 000

+ v + 502 250
000

+ 000 145+x

+ 000 225+x

+ 000 245+x

+ v + 502 000

+ v + 502 250
000

+ 000 145+x

+ 000 225+x

+ 000 245+x

+ v + 502 000

+ v + 502 250
000

+ 000 145+x

+ 000 225+x

+ 000 245+x

+ v + 502 000

+ v + 502 250
000

+ 000 145+x

+ 000 225+x

+ 000 245+x

+ v + 502 000

+ v + 502 250
000

+ 000 145+x

+ 000 225+x

+ 000 245+x

+ v + 502 000

+ v + 502 250
000

+ 000 145+x

+ 000 225+x

+ 000 245+x

+ v + 502 000

+ v + 502 250
000

+ 000 145+x

+ 000 225+x

+ 000 245+x

+ v + 502 000

+ v + 502 250
000

+ 000 145+x

+ 000 225+x

+ 000 245+x

+ v + 502 000

+ v + 502 250
000

+ 000 145+x

+ 000 225+x

+ 000 245+x

+ v + 502 000

+ v + 502 250
000

+ 000 145+x

+ 000 225+x

+ 000 245+x

+ v + 502 000

+ v + 502 250
000

+ 000 145+x

+ 000 225+x

+ 000 245+x

+ v + 502 000

+ v + 502 250
000

+ 000 145+x

+ 000 225+x

+ 000 245+x

+ v + 502 000

+ v + 502 250
000

+ 000 145+x

+ 000 225+x

+ 000 245+x

+ v + 502 000

+ v + 502 250
000

+ 000 145+x

+ 000 225+x

+ 000 245+x

+ v + 502 000

+ v + 502 250
000

+ 000 145+x

+ 000 225+x

+ 000 245+x

+ v + 502 000

+ v + 502 250
000

+ 000 145+x

+ 000 225+x

+ 000 245+x

+ v + 502 000

+ v + 502 250
000

+ 000 145+x

+ 000 225+x

+ 000 245+x

+ v + 502 000

+ v + 502 250
000

+ 000 145+x

+ 000 225+x

+ 000 245+x

+ v + 502 000

+ v + 502 250
000

+ 000 145+x

+ 000 225+x

+ 000 245+x

+ v + 502 000

+ v + 502 250
000

+ 000 145+x

+ 000 225+x

+ 000 245+x

+ v + 502 000

+ v + 502 250
000

+ 000 145+x

+ 000 225+x

+ 000 245+x

+ v + 502 000

+ v + 502 250
000

+ 000 145+x

+ 000 225+x

+ 000 245+x

+ v + 502 000

+ v + 502 250
000

+ 000 145+x

+ 000 225+x

+ 000 245+x

+ v + 502 000

+ v + 502 250
000

+ 000 145+x

+ 000 225+x

+ 000 245+x

+ v + 502 000

+ v + 502 250
000

+ 000 145+x

+ 000 225+x

+ 000 245+x

+ v + 502 000

+ v + 502 250
000

+ 000 145+x

+ 000 225+x

+ 000 245+x

+ v + 502 000

+ v + 502 250
000

+ 000 145+x

+ 000 225+x

+ 000 245+x

+ v + 502 000

+ v + 502 250
000

+ 000 145+x

+ 000 225+x

+ 000 245+x

+ v + 502 000

+ v + 502 250
000

+ 000 145+x

+ 000 225+x

+ 000 245+x

+ v + 502 000

+ v + 502 250
000

+ 000 145+x

+ 000 225+x

+ 000 245+x

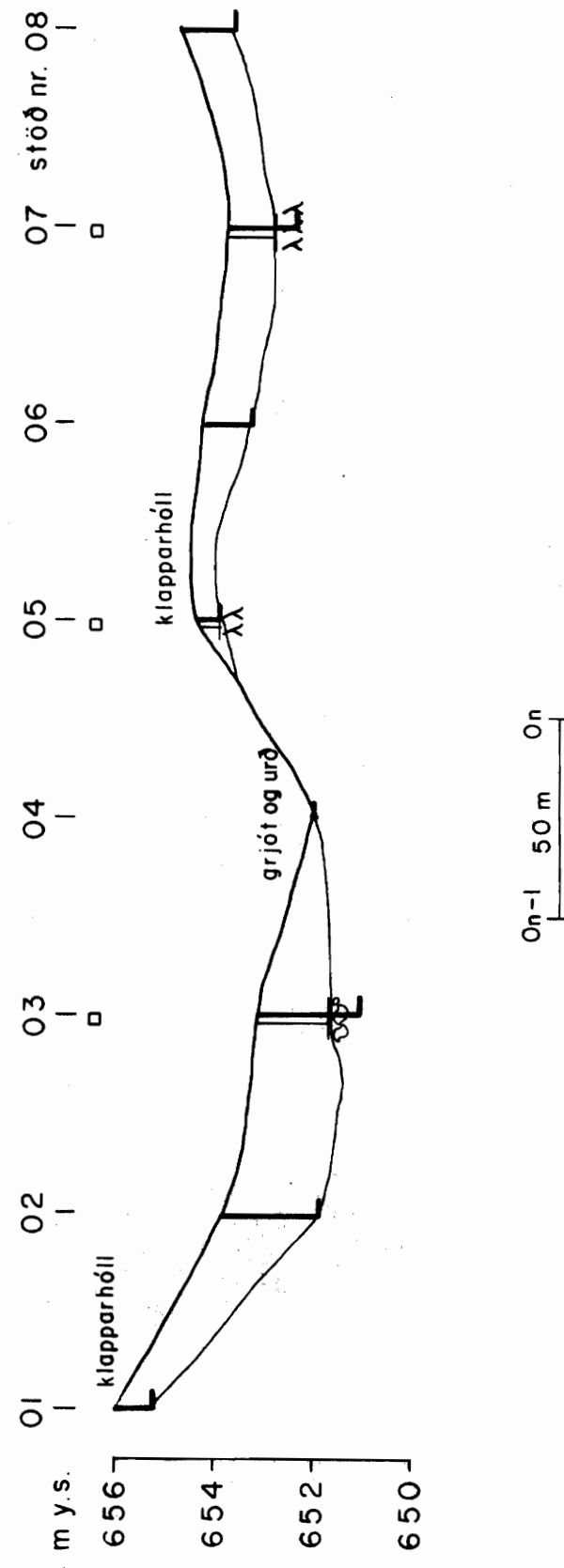
ORKUSTOFNUN

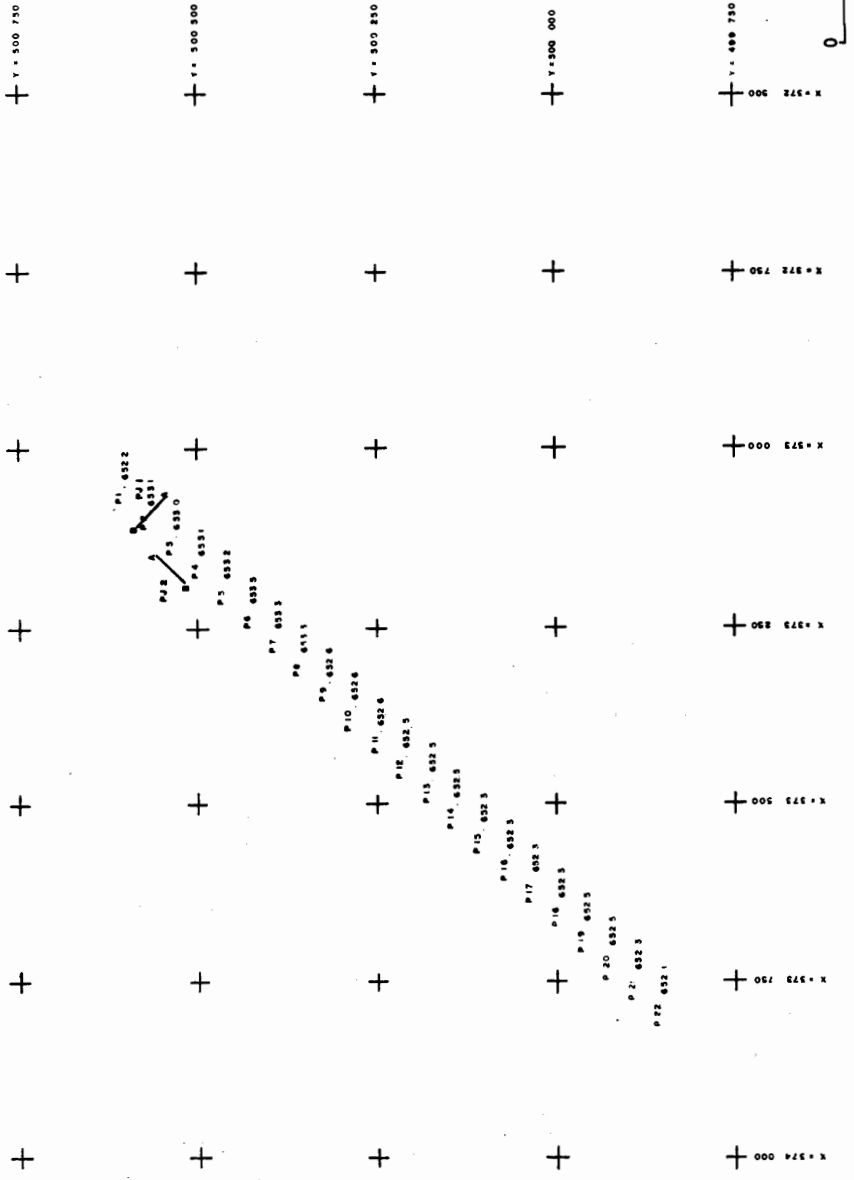
BESSASTAÐAARVIRKJUN
Jarðlagasnið O-lína

'76.03.15. DE/HO
Tnr. 37 Tnr. 1573
B-195 J-VI Þórnáms
Fnr. 140II

Skyringar sjá mynd 4.1

Mynd 4.19





Mynd 4.20

SKÝRINGAR:

HNITAKERFI LANDSKERFI
HÆDAKERFI OS - NA - LAND

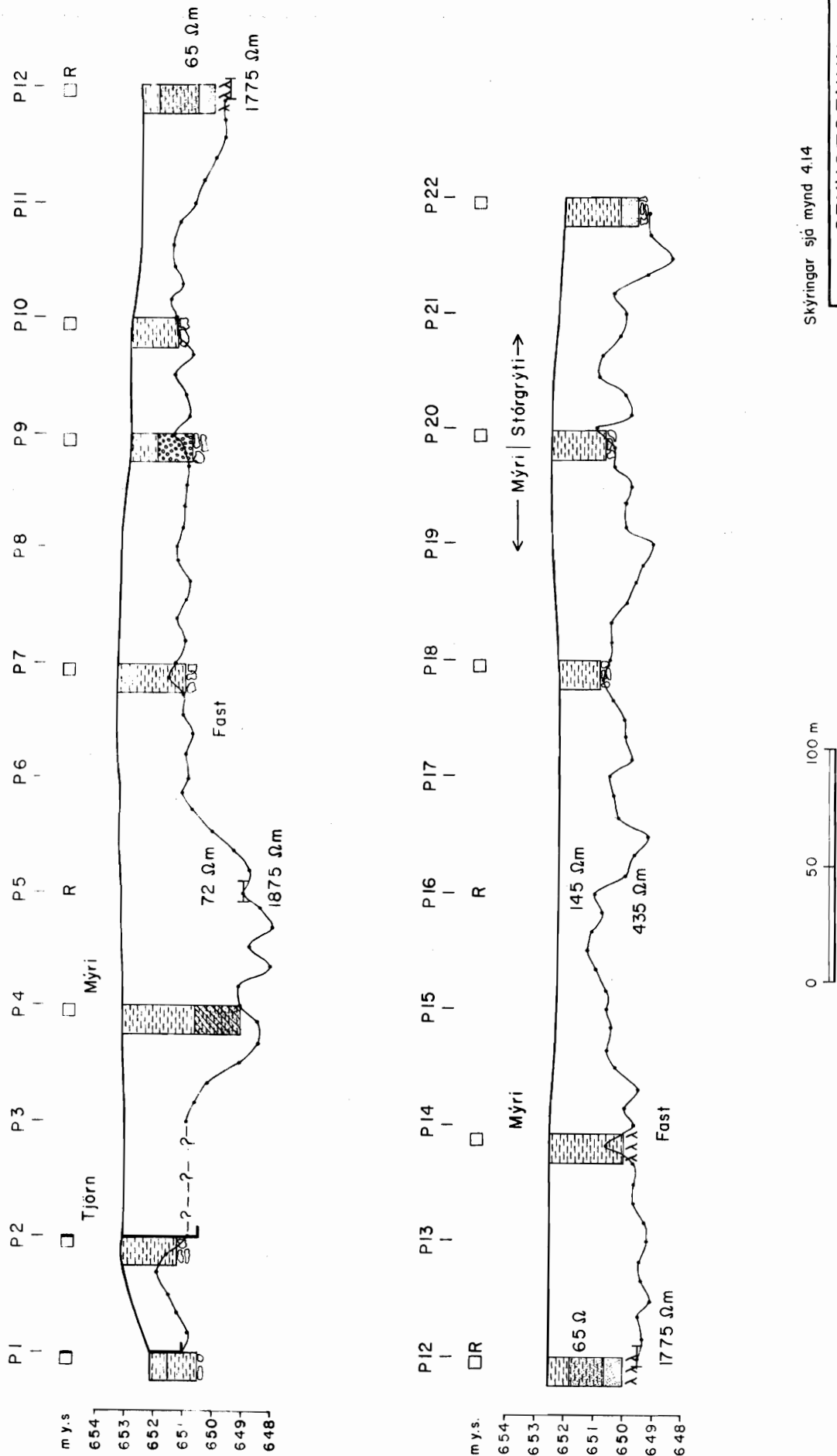
ORKUSTOFNUN
BESSASTADAÁRVIRKJUN

Hannab	MARZ '76	BR
Teknab	---	L A
Vinnab	---	

HÖNNUN Verkfræðistofa Höfnarstaður 9. sumar 1976 & 1977

74600

Mynd 4.21

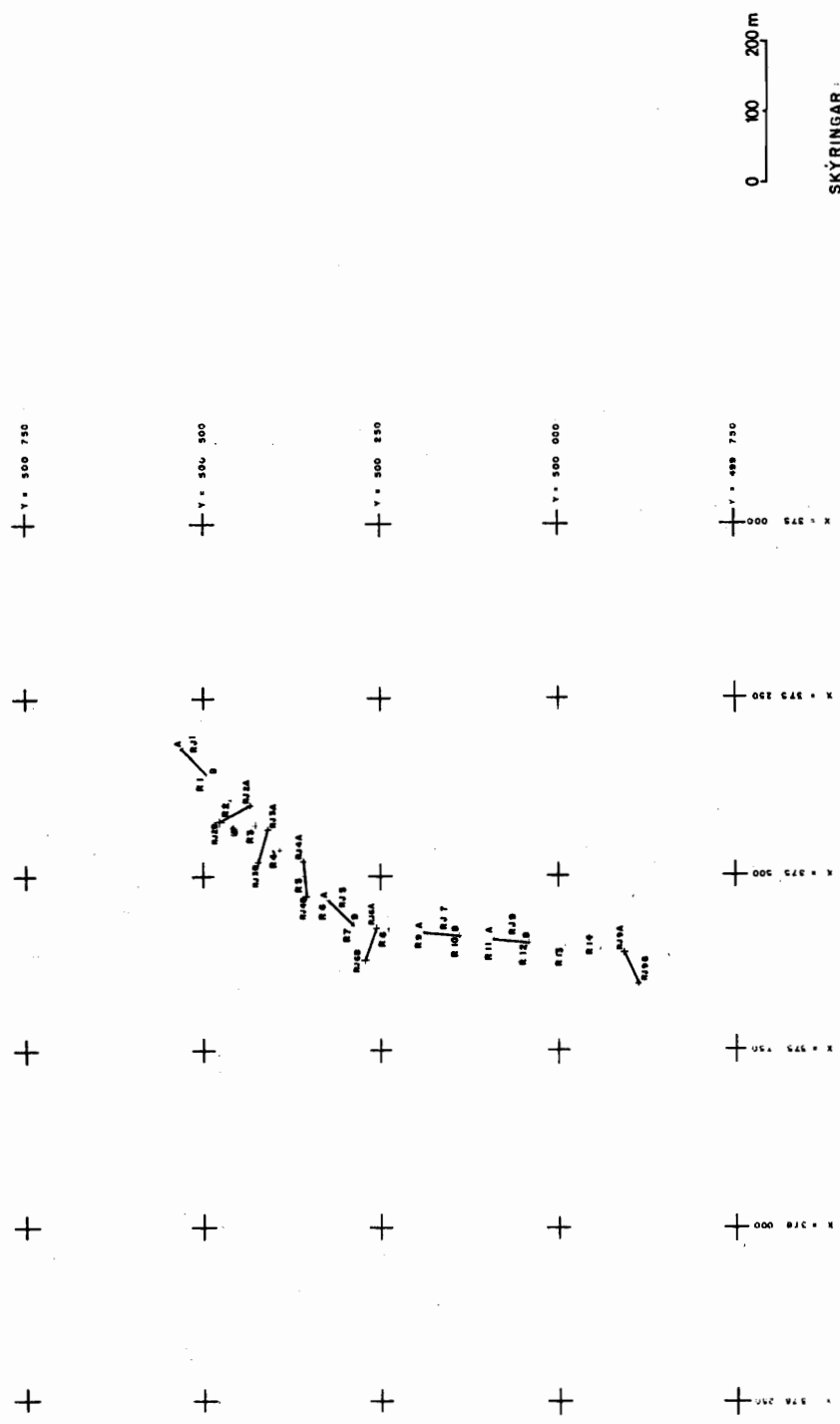


Skýringar sjá mynd 4.14

ORKUSTOFNUN

BESSASTADAÐARVIRKJUN
Jorðagasnið. P-lína

91275 DEASUHD Thr 5 Þor 490 B-195 J-Vdn Fn. 13733



Mynd 4.22

ORKUSTOFNUN

BESSASTAÐÁRVIRKJUN

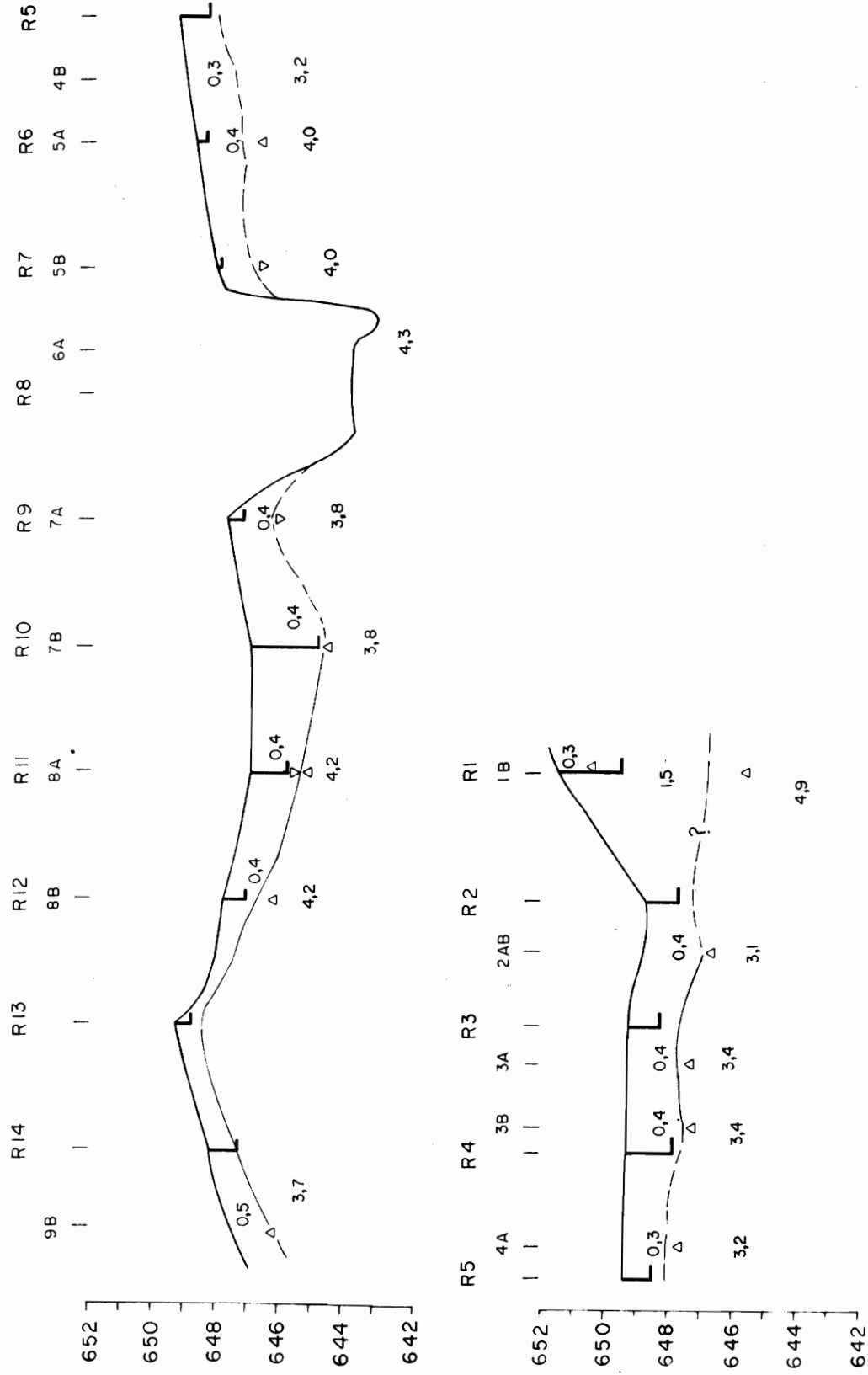
HÖNINUN

R - STIFLA
STAÐSETNING SPRENGIHÉLA

Verkfæðistofa
Hönnunar, R. Stifla, Þ. Ægviði

ORKUSTOFNUN	MARZ '76
BESSASTADAÁRVIRKJUN	Verkfræðistofa
R - STIFLA STABSETNING SPRENGHELA	Hafnarhús 8 Íslensk Banka Garður
HÖNNUN	74 600

Mynd 4.23



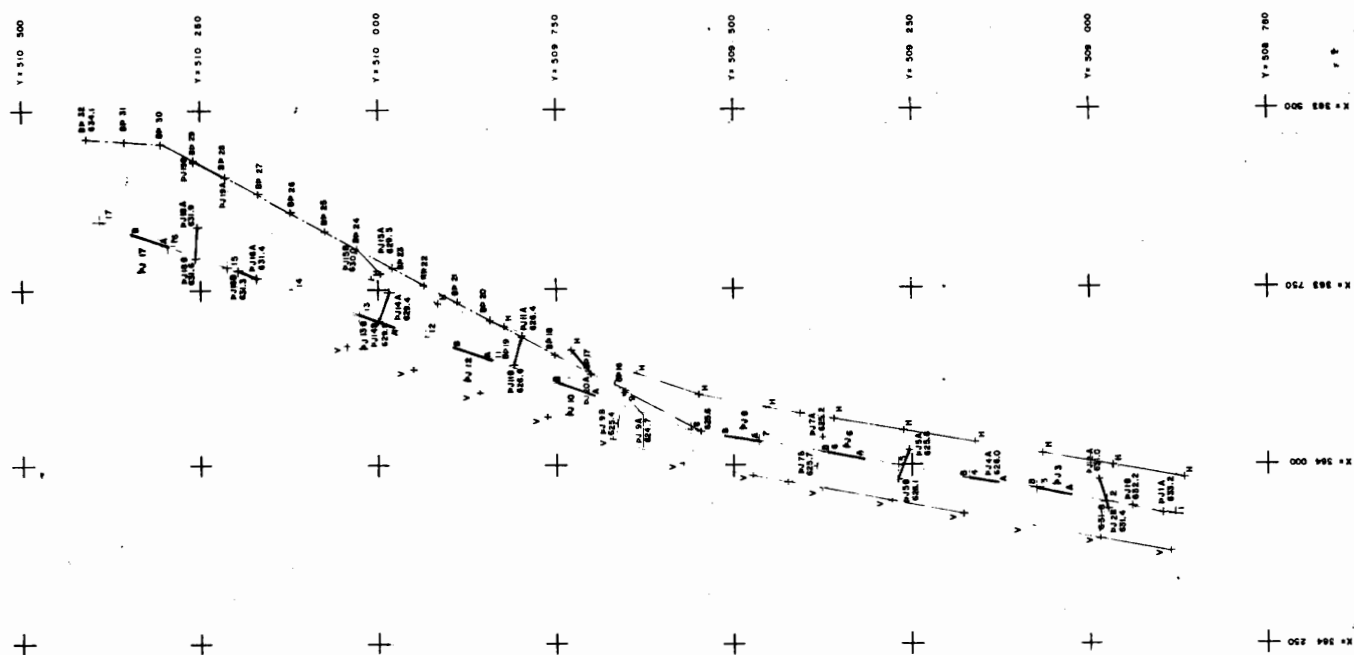
Skýringar sjá mynd 4.1

ORKUSTOFNUN

BESSASTADARVIRKJUN
Íslenskra Þáttaríðna

781902 HG/DE/G/JAN Tm 32 Tm 1564
H-195 - 1 VIEN

»- STİFLA - MİDLİNA, HİDİDARLÍNUR



+ Y = 508 780
+ 00
+ 05
+ 00

0 100 200 m

SKÝRINGAR:

LANDSKERFI
OS NA- | AND
HNTAKERFI
HEÐAKERFI

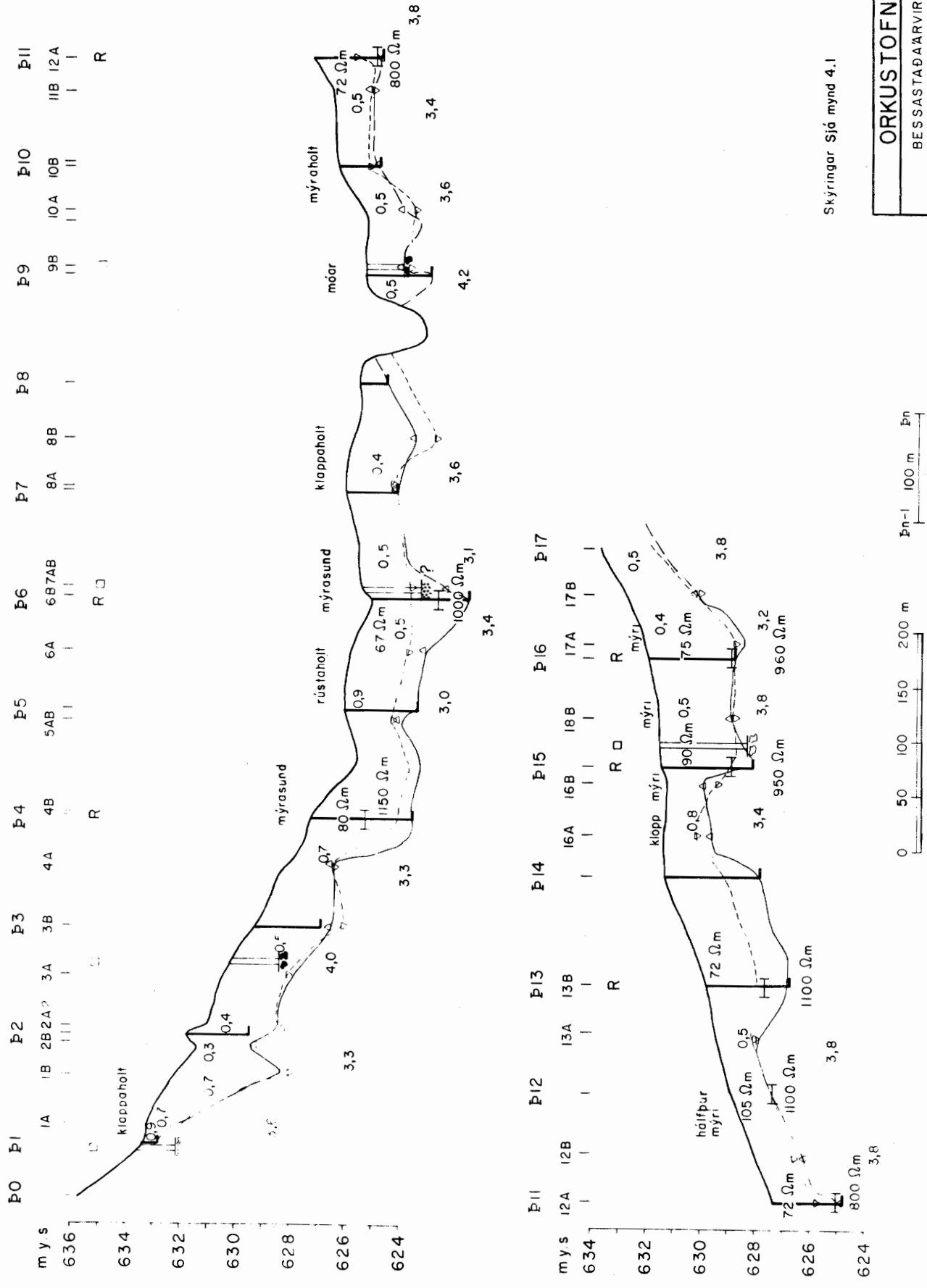
Mynd 4 24

ORKUSTOFNUN

BESSASTAÐAÁRVIRKJUN

P-STIFLA

STADSETNING SPRE



Skýringar Sjá mynd 4.1

ORKUSTOFNIÐ

BESSASTAÐAÐARVIRKJUN

Jarðlagasnið. Þ-lína
71176 HG/DE/GJ/HG Tnr 10 Tor 1495
B-195 J-Vindmál Fnr. 13738 a